

МИНИСТЕРСТВО ОБРАЗОВАНИЯ И НАУКИ РФ
ФЕДЕРАЛЬНОЕ ГОСУДАРСТВЕННОЕ
БЮДЖЕТНОЕ ОБРАЗОВАТЕЛЬНОЕ УЧРЕЖДЕНИЕ
ВЫСШЕГО ПРОФЕССИОНАЛЬНОГО ОБРАЗОВАНИЯ
«ВОРОНЕЖСКИЙ ГОСУДАРСТВЕННЫЙ
УНИВЕРСИТЕТ»

С. И. Мармо,
М. В. Фролов

ЗАДАЧИ ПО ЭЛЕКТРОДИНАМИКЕ

Часть I

Учебное пособие для вузов

Воронеж
Издательский дом ВГУ
2014

Утверждено научно-методическим советом физического факультета
25 ноября 2013 г., протокол № 11

Рецензент д-р физ.-мат. наук, доц. А. В. Меремьянин

Учебное пособие подготовлено на кафедре теоретической физики физического факультета Воронежского государственного университета.

Рекомендуется для студентов 3-го курса дневного отделения физического факультета.

Для направления 011200 — Физика, специальности 010701 — Физика

Содержание

1. Математические методы электродинамики	4
1.1. Векторная алгебра	4
1.2. Векторный анализ	6
1.3. Криволинейные координаты	14
2. Постоянное электрическое поле	24
3. Постоянное магнитное поле	41
Приложение	58
1. Основные дифференциальные операции в сферических и цилиндрических координатах	58
2. Сферические функции	59
3. Полиномы Лежандра	61
Литературы	62

Учебное пособие предназначено для проведения практических занятий по курсу «Электродинамика» (шифр ОПД.Ф.01.02). Материал пособия относится к первой части курса, в которой изучаются электромагнитные явления в вакууме. Каждый раздел содержит теоретическую часть, примеры решения задач и задачи для самостоятельного решения. Изложение теории, в котором приводятся основные положения и даются ключевые формулы, имеет справочный характер и непосредственно связано с решением задач по соответствующей теме. Подбор задач проводился так, чтобы показать основные методы их решения, а также проиллюстрировать наиболее существенные положения теории. Решенные в пособии задачи имеют базовый характер, они должны дать достаточно полное представление об изучаемой теме и помочь студентам в самостоятельной работе над другими задачами из данного пособия, а также из задачников, приведенных в списке литературы.

1. Математические методы электродинамики

Электромагнитное поле может быть описано заданием напряженностей электрического и магнитного полей $\mathbf{E}(\mathbf{r}, t)$, $\mathbf{B}(\mathbf{r}, t)$ — двух векторных функций, зависящих от точки пространства и времени. Поэтому математическая сторона электродинамики связана с исчислением векторных полей. Напомним здесь основные результаты векторной алгебры, интегрального исчисления векторов и векторного анализа.

1.1. Векторная алгебра

Векторные величины характеризуются абсолютным значением и направлением. В любой системе координат вектор определяется тройкой чисел (которые, конечно, зависят от выбора системы координат). Пусть, например, радиус-вектор \mathbf{r} , задающий положение точки, имеет в некоторой декартовой системе координат (д.с.к.) компоненты x, y, z : $\mathbf{r} = x\mathbf{i} + y\mathbf{j} + z\mathbf{k}$ [используется также обозначение $\mathbf{r} = (x, y, z)$]. В другой д.с.к., имеющей общее начало с исходной, но повернутой относительно нее, вектор \mathbf{r} будет иметь другие компоненты x', y', z' : $\mathbf{r} = x'\mathbf{i}' + y'\mathbf{j}' + z'\mathbf{k}'$. Штрихованные компоненты выражаются через нештрихованные по правилу

$$x'_i = \sum_{j=1}^3 \alpha_{ij} x_j,$$

где коэффициенты преобразования α_{ij} представляют собой косинусы углов между j -й осью исходной и i -й осью повернутой системы. Это трансформационное свойство может быть положено в основу определения понятия

векторной величины: вектором \mathbf{a} называется совокупность трех величин a_i ($i = 1, 2, 3$), которые при поворотах координатной системы преобразуются так же, как координаты x_1, x_2, x_3 :

$$a'_i = \sum_{j=1}^3 \alpha_{ij} a_j. \quad (1.1)$$

Двум векторам $\mathbf{a} = (a_x, a_y, a_z)$ и $\mathbf{b} = (b_x, b_y, b_z)$ можно поставить в соответствие скалярную величину (которая не меняется при переходе к другой системе координат), образовав скалярное произведение

$$\mathbf{ab} = ab \cos \alpha,$$

α — угол между \mathbf{a} и \mathbf{b} . В д.с.к. скалярное произведение вычисляется через проекции векторов по формуле

$$\mathbf{ab} = a_x b_x + a_y b_y + a_z b_z.$$

Если $\mathbf{a} \perp \mathbf{b}$, то $\mathbf{ab} = 0$.

Двум векторам \mathbf{a} и \mathbf{b} можно поставить в соответствие вектор \mathbf{c} , удовлетворяющий условиям: 1) $|\mathbf{c}| = |\mathbf{a}||\mathbf{b}| \sin \theta$; 2) вектор \mathbf{c} ортогонален векторам \mathbf{a}, \mathbf{b} ; 3) векторы $\mathbf{a}, \mathbf{b}, \mathbf{c}$ образуют правую тройку. Так построенный вектор \mathbf{c} называется векторным произведением векторов \mathbf{a} и \mathbf{b} и обозначается $[\mathbf{ab}]$. В д.с.к. $[\mathbf{ab}]$ вычисляется по правилу

$$[\mathbf{ab}] = (a_y b_z - a_z b_y)\mathbf{i} + (a_z b_x - a_x b_z)\mathbf{j} + (a_x b_y - a_y b_x)\mathbf{k},$$

или, в краткой символической записи,

$$[\mathbf{ab}] = \begin{vmatrix} \mathbf{i} & \mathbf{j} & \mathbf{k} \\ a_x & a_y & a_z \\ b_x & b_y & b_z \end{vmatrix}.$$

При перестановке сомножителей векторное произведение меняет знак. Итак, $[\mathbf{ab}] \perp \mathbf{a}, \mathbf{b}$; $[\mathbf{ba}] = -[\mathbf{ab}]$. Если векторы \mathbf{a} и \mathbf{b} параллельны или антипараллельны, то $[\mathbf{ab}] = 0$.

Из трех векторов можно составить смешанное произведение $(\mathbf{a}[\mathbf{bc}])$ или двойное векторное произведение $[\mathbf{a}[\mathbf{bc}]]$. Множители смешанного произведения можно переставлять циклически (или нециклически с переменной знака), получая тождественные выражения:

$$(\mathbf{a}[\mathbf{bc}]) = (\mathbf{b}[\mathbf{ca}]) = -(\mathbf{a}[\mathbf{cb}]).$$

Двойное векторное произведение можно разложить следующим образом:

$$[\mathbf{a}[\mathbf{bc}]] = \mathbf{b}(\mathbf{ac}) - \mathbf{c}(\mathbf{ab}).$$

Векторы, преобразующиеся по правилу (1.1) при поворотах, могут двояко вести себя при инверсии системы координат, т.е. при преобразовании вида

$$x'_i = -x_i, \quad (1.2)$$

где матрица преобразования $\alpha_{ij} = -\delta_{ij}$. Те векторы, компоненты которых, как и x_i , меняют знак при инверсии, называются *истинными* или *полярными*. Векторы, компоненты которых при инверсии координат не изменяют знака, называются *псевдовекторами* или *аксиальными* векторами (угловая скорость вращения, векторное произведение $[\mathbf{ab}]$ двух полярных векторов и др.).

Задачи для самостоятельного решения

1.1. Вычислить: а) векторное произведение $[\mathbf{ab}]$; б) смешанное произведение $(\mathbf{a}[\mathbf{ba}])$; в) угол между \mathbf{a} и \mathbf{b} , если $\mathbf{a} = \mathbf{i} - \mathbf{k}$, $\mathbf{b} = \mathbf{i} + \mathbf{k}$.

1.2. Найти единичный вектор, направленный вдоль вектора $\mathbf{a}_1 + \mathbf{a}_2$, где $\mathbf{a}_1 = 2\mathbf{i} + 3\mathbf{j} - 4\mathbf{k}$, $\mathbf{a}_2 = \mathbf{i} + 3\mathbf{j} + 2\mathbf{k}$.

1.3. Найти проекцию вектора $\mathbf{a} = \mathbf{i} - 2\mathbf{j} + \mathbf{k}$ на вектор $\mathbf{b} = 4\mathbf{i} - 4\mathbf{j} + 7\mathbf{k}$.

1.4. Доказать равенство $(\mathbf{ab})^2 + [\mathbf{ab}]^2 = a^2b^2$.

1.5. Какому условию должны удовлетворять векторы \mathbf{a} и \mathbf{b} , чтобы векторы $\mathbf{a} - \mathbf{b}$ и $\mathbf{a} + \mathbf{b}$ были а) ортогональны; б) коллинеарны?

1.6. Даны векторы $\mathbf{a} = 3\mathbf{i} + 4\mathbf{j} + 6\mathbf{k}$, $\mathbf{b} = -6\mathbf{i} - 4\mathbf{j} + 2\mathbf{k}$, $\mathbf{c} = \mathbf{i} - 2\mathbf{j} - \mathbf{k}$. Определить, какие из них взаимно перпендикулярны, а какие параллельны или антипараллельны.

1.7. Найти единичный вектор, перпендикулярный векторам $\mathbf{A} = 2\mathbf{i} + \mathbf{j}$ и $\mathbf{B} = \mathbf{i} - \mathbf{j} + \mathbf{k}$.

1.8. Известны векторы \mathbf{A} и \mathbf{B} . Представить вектор \mathbf{A} в виде суммы двух векторов: \mathbf{A}_{\parallel} — параллельного и \mathbf{A}_{\perp} — перпендикулярного к \mathbf{B} .

1.2. Векторный анализ

Основные дифференциальные операции. Если любой точке пространства (или части пространства) ставится в соответствие некоторая величина, то говорят, что в пространстве задано поле этой величины. Если любой точке пространства ставится в соответствие число, то поле называется скалярным; если любой точке пространства ставится в соответствие вектор, то поле называется векторным.

С формальной точки зрения поле есть функция точки. Пусть задано скалярное поле: $f = f(\mathbf{r})$. Если в пространстве выбрана некоторая декартова система координат, то можем написать: $f = f(x, y, z)$. Возьмем в пространстве некоторую точку M . Из нее можно выходить по всевозможным

направлениям. Выберем некоторое направление l (рис. 1). Производной f по направлению l называется скорость изменения поля в данном направлении:

$$\frac{df}{dl} = \lim_{N \rightarrow M} \frac{f(N) - f(M)}{MN}.$$

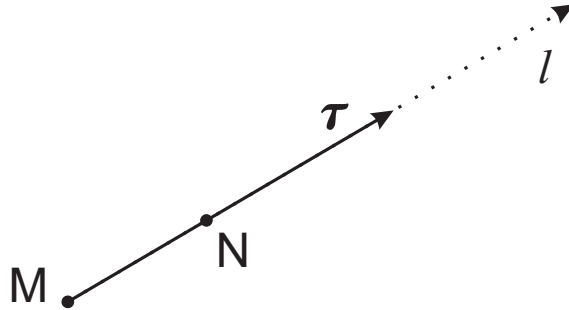


Рис. 1

На заданном направлении l координаты x, y, z являются функциями расстояния l , $f = f(x(l), y(l), z(l))$, поэтому f можно продифференцировать как сложную функцию:

$$\frac{df}{dl} = \frac{\partial f}{\partial x} \frac{dx}{dl} + \frac{\partial f}{\partial y} \frac{dy}{dl} + \frac{\partial f}{\partial z} \frac{dz}{dl}.$$

Представим последнее выражение как скалярное произведение двух векторов:

$$\frac{df}{dl} = \left(\frac{\partial f}{\partial x} \mathbf{i} + \frac{\partial f}{\partial y} \mathbf{j} + \frac{\partial f}{\partial z} \mathbf{k} \right) \left(\frac{dx}{dl} \mathbf{i} + \frac{dy}{dl} \mathbf{j} + \frac{dz}{dl} \mathbf{k} \right).$$

Первый вектор здесь называется *градиентом* поля f :

$$\text{grad } f = \frac{\partial f}{\partial x} \mathbf{i} + \frac{\partial f}{\partial y} \mathbf{j} + \frac{\partial f}{\partial z} \mathbf{k}. \quad (1.3)$$

Второй вектор

$$\frac{dx}{dl} \mathbf{i} + \frac{dy}{dl} \mathbf{j} + \frac{dz}{dl} \mathbf{k} = \frac{d(x\mathbf{i} + y\mathbf{j} + z\mathbf{k})}{dl} = \frac{d\mathbf{r}}{dl} = \boldsymbol{\tau}$$

есть единичный вектор направления l . Таким образом,

$$\frac{df}{dl} = (\text{grad } f \cdot \boldsymbol{\tau}). \quad (1.4)$$

Из последнего выражения следует, что вектор $\text{grad } f$ в точке M указывает в сторону наиболее быстрого возрастания поля f , причем эта наиболее быстрая скорость равна $|\text{grad } f|$. Из этого утверждения, которое составляет

геометрический смысл градиента, ясно, что градиент инвариантно связан с рассматриваемым полем, т.е. остается неизменным при замене декартовых осей (этого не видно из определения (1.3), данного в неинвариантной форме, «привязанной» к какой-то системе координат). Итак, градиент скалярного поля образует векторное поле.

Если ввести векторный дифференциальный оператор ∇ («набла»)

$$\nabla = \mathbf{i} \frac{\partial}{\partial x} + \mathbf{j} \frac{\partial}{\partial y} + \mathbf{k} \frac{\partial}{\partial z}, \quad \text{или} \quad \nabla = \left(\frac{\partial}{\partial x}, \frac{\partial}{\partial y}, \frac{\partial}{\partial z} \right), \quad (1.5)$$

то можно записать (1.3) в виде

$$\text{grad } f = \nabla f,$$

а (1.4) в виде

$$\frac{df}{dl} = (\boldsymbol{\tau} \cdot \nabla f) = (\boldsymbol{\tau} \cdot \nabla) f.$$

Рассмотрим частный случай сферически симметричной функции f (т.е. функции, которая зависит только от расстояния $r = |\mathbf{r}|$ до начала координат).

Пример 1.1. Показать, что

$$\text{grad } f(r) = \frac{df}{dr} \frac{\mathbf{r}}{r}. \quad (1.6)$$

Решение. Воспользуемся выражением для градиента в д.с.к. (1.3). Выразим $r = |\mathbf{r}|$ через x, y, z ($r = \sqrt{x^2 + y^2 + z^2}$) и вычислим

$$\frac{\partial f}{\partial x} = \frac{df}{dr} \frac{\partial r}{\partial x} = \frac{df}{dr} \frac{x}{r}.$$

Аналогично $\frac{\partial f}{\partial y} = \frac{df}{dr} \frac{y}{r}$, $\frac{\partial f}{\partial z} = \frac{df}{dr} \frac{z}{r}$, откуда

$$\text{grad } f(r) = \frac{df}{dr} \frac{\mathbf{r}}{r}. \quad \blacktriangleleft \quad (1.7)$$

Рассмотрим теперь векторное поле $\mathbf{a}(\mathbf{r})$ и введем операцию дивергенции. Составим отношение потока поля \mathbf{a} через замкнутую поверхность S к объему области, ограниченному этой поверхностью:

$$\frac{\oint \mathbf{a} d\mathbf{S}}{V}.$$

Предел этого отношения при стягивании области к точке M называется *дивергенцией* поля \mathbf{a} в точке M :

$$\operatorname{div} \mathbf{a} = \lim_{(V) \rightarrow M} \frac{\oint \mathbf{a} d\mathbf{S}}{V}. \quad (1.8)$$

Отметим, что дивергенция векторного поля образует скалярное поле.

Пример 1.2. Получить, исходя из определения (1.8), выражение для дивергенции в д.с.к.

Решение. Выберем в качестве области в формуле (1.8) бесконечно малый прямоугольный параллелепипед с ребрами, параллельными осям координат. Тогда поток вектора \mathbf{a} через поверхность параллелепипеда можно представить в виде шести слагаемых, отвечающих шести граням параллелепипеда:

$$\begin{aligned} \oint_S \mathbf{a} d\mathbf{S} &= [a_x(x + dx, \bar{y}, \bar{z}) - a_x(x, \bar{y}, \bar{z})] dydz + \\ &+ [a_y(\bar{x}, y + dy, \bar{z}) - a_y(\bar{x}, y, \bar{z})] dx dz + \\ &+ [a_z(\bar{x}, \bar{y}, z + dz) - a_z(\bar{x}, \bar{y}, z)] dx dy \approx \\ &\approx \left(\frac{\partial a_x}{\partial x} + \frac{\partial a_y}{\partial y} + \frac{\partial a_z}{\partial z} \right) dV. \end{aligned} \quad (1.9)$$

При вычислении поверхностных интегралов по граням использована теорема о среднем, величины $\bar{x}, \bar{y}, \bar{z}$ — значения координат в некоторой точке соответствующей грани. Учтено также, что нормаль имеет противоположные направления на противоположных гранях, а при стягивании объема в точку M все координаты принимают значения, соответствующие этой точке. В результате (1.8) приводит к следующему выражению для дивергенции в д.с.к.:

$$\operatorname{div} \mathbf{a} = \frac{\partial a_x}{\partial x} + \frac{\partial a_y}{\partial y} + \frac{\partial a_z}{\partial z}. \quad \blacktriangleleft \quad (1.10)$$

Принимая во внимание (1.5), (1.10), запишем дивергенцию векторного поля \mathbf{a} в виде скалярного произведения оператора ∇ на вектор \mathbf{a} :

$$\operatorname{div} \mathbf{a} = (\nabla \mathbf{a}). \quad (1.11)$$

Пример 1.3. Основываясь на определении дивергенции (1.8), вывести соотношение, связывающее интеграл от $\operatorname{div} \mathbf{a}$ по некоторому объему с потоком вектора \mathbf{a} через поверхность, ограничивающую этот объем.

Решение. Выберем произвольный объем V , ограниченный поверхностью S . Разобьем его на малые ячейки ΔV_i , каждая из которых ограничена

поверхностью S_i . У ячеек, примыкающих к внешней поверхности S , часть ограничивающих их поверхностей совпадает с S . Все остальные участки поверхностей S_i будут общими для двух соседних ячеек. Пользуясь малостью каждой из ячеек, запишем (1.8) в приближенной форме:

$$(\operatorname{div} \mathbf{a})_i \Delta V_i \approx \oint_{S_i} \mathbf{a} d\mathbf{S}_i .$$

Просуммируем теперь левую и правую часть последнего приближенного равенства по i и перейдем к пределу, устремляя объем каждой ячейки к нулю. Левая часть равенства перейдет при этом в интеграл по полному объему от дивергенции. В правой части равенства интегралы по внутренним участкам поверхностей S_i взаимно уничтожатся, так как внешние нормали для двух соседних ячеек имеют противоположные направления. Останется лишь интеграл по внешней поверхности S . В итоге получим соотношение

$$\int_V \operatorname{div} \mathbf{a} dV = \oint_S \mathbf{a} d\mathbf{S}, \quad (1.12)$$

которое называется *теоремой Остроградского — Гаусса*. ◀

Наконец, введем понятие ротора векторного поля. Рассмотрим плоскую площадку, перпендикулярную некоторому направлению \mathbf{n} . Найдем циркуляцию вектора \mathbf{a} по контуру, ограничивающему эту площадку, и ее отношение к величине площадки:

$$\frac{\oint \mathbf{a} d\mathbf{l}}{S} .$$

Предел этого отношения при стягивании площадки (она остается плоской) к точке M называется проекцией *ротора* векторного поля \mathbf{a} на направление \mathbf{n} , образующего с направлением обхода контура правовинтовую систему:

$$(\operatorname{rot} \mathbf{a})_n = \lim_{(S) \rightarrow M} \frac{\oint \mathbf{a} d\mathbf{l}}{S} . \quad (1.13)$$

Обратим внимание, что операция rot применяется к векторному полю и сам ротор есть векторное поле.

Если рассмотреть циркуляцию по бесконечно малым прямоугольникам, стороны которых параллельны осям координат, то можно найти выражение для $\operatorname{rot} \mathbf{a}$ в д.с.к.:

$$\operatorname{rot} \mathbf{a} = \begin{vmatrix} \mathbf{i} & \mathbf{j} & \mathbf{k} \\ \frac{\partial}{\partial x} & \frac{\partial}{\partial y} & \frac{\partial}{\partial z} \\ a_x & a_y & a_z \end{vmatrix} .$$

Через оператор ∇ ротор выражается следующим образом:

$$\text{rot } \mathbf{a} = [\nabla \mathbf{a}],$$

т.е. ротор векторного поля \mathbf{a} есть векторное произведение вектора ∇ на вектор \mathbf{a} .

Нетрудно показать, что циркуляция по произвольному контуру Γ есть сумма циркуляций вдоль двух меньших контуров, на которые разбивается Γ : $\oint_{\Gamma} \mathbf{a} d\mathbf{l} = \oint_{\Gamma_1} \mathbf{a} d\mathbf{l} + \oint_{\Gamma_2} \mathbf{a} d\mathbf{l}$. Тогда, разбив произвольный контур на бесконечно малые участки (рис. 2), используя для каждого участка (1.13) и суммируя уравнения

$$\oint_{\Gamma_i} \mathbf{a} d\mathbf{l} = (\text{rot } \mathbf{a})_i \Delta S_i$$

по всем участкам, получим

$$\oint_{\Gamma} \mathbf{a} d\mathbf{l} = \int_S \text{rot } \mathbf{a} d\mathbf{S}. \quad (1.14)$$

В этом состоит *теорема Стокса*: циркуляция поля по замкнутому контуру равна потоку ротора этого поля через поверхность, ограниченную указанным контуром.

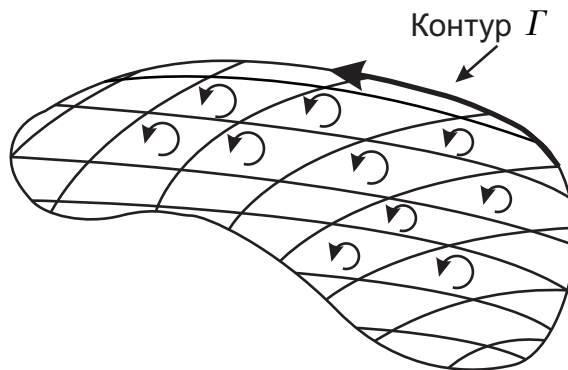


Рис. 2

Символическое исчисление. Дифференциальные операции от произведений скалярных и векторных полей удобно вычислять, используя оператор ∇ . Оператор ∇ используется потому, что с его помощью удобно получать и записывать различные формулы векторного анализа. ∇ — дифференциальный векторный оператор, он имеет свойства производной и вектора, и при операциях с ним следует пользоваться правилами дифференцирования и формулами векторной алгебры.

Пример 1.4. Вычислить градиент произведения двух скалярных функций.

Решение. Из свойств ∇ и правил векторной алгебры следует, что

$$\text{grad}(fg) = \nabla(fg) = \nabla(\overset{\downarrow}{fg}) + \nabla(\overset{\downarrow}{fg}) = g\nabla f + f\nabla g. \quad \blacktriangleleft \quad (1.15)$$

Таким образом, чтобы применить дифференциальную операцию к произведению, надо переписать ее через оператор ∇ , записать два слагаемых (в которых ∇ действует сначала на первый множитель, затем — на второй) и, пользуясь правилами векторной алгебры, расставить сомножители так, чтобы «высвободить» из-под оператора ∇ те множители, на которые ∇ не действует (например, расставить сомножители так, чтобы ∇ оказался справа от тех множителей, на которые он не действует).

Рассмотрим еще два примера вычисления дифференциальных операций от произведений.

Пример 1.5. Доказать, что

$$\text{div}[\mathbf{ab}] = \mathbf{b} \text{rot } \mathbf{a} - \mathbf{a} \text{rot } \mathbf{b}. \quad (1.16)$$

Решение. Вычисляем, используя символическое исчисление:

$$\begin{aligned} \text{div}[\mathbf{ab}] &= (\nabla[\mathbf{ab}]) = (\nabla[\overset{\downarrow}{\mathbf{ab}}]) + (\nabla[\overset{\downarrow}{\mathbf{ab}}]) = (\mathbf{b}[\nabla\mathbf{a}]) - (\mathbf{a}[\nabla\mathbf{b}]) = \\ &= \mathbf{b} \text{rot } \mathbf{a} - \mathbf{a} \text{rot } \mathbf{b}. \quad \blacktriangleleft \end{aligned}$$

Пример 1.6. Доказать, что

$$\text{grad}(\mathbf{ab}) = [\mathbf{b} \text{rot } \mathbf{a}] + (\mathbf{b}\nabla)\mathbf{a} + [\mathbf{a} \text{rot } \mathbf{b}] + (\mathbf{a}\nabla)\mathbf{b}. \quad (1.17)$$

Решение. Подействуем оператором ∇ на скалярное произведение:

$$\nabla(\mathbf{ab}) = \nabla(\overset{\downarrow}{\mathbf{a}\mathbf{b}}) + \nabla(\overset{\downarrow}{\mathbf{a}\mathbf{b}}) = \nabla(\overset{\downarrow}{\mathbf{b}\mathbf{a}}) + \nabla(\overset{\downarrow}{\mathbf{a}\mathbf{b}}).$$

Преобразовав члены в правой части

$$\nabla(\overset{\downarrow}{\mathbf{b}\mathbf{a}}) = \nabla(\overset{\downarrow}{\mathbf{b}\mathbf{a}}) - \overset{\downarrow}{\mathbf{a}}(\mathbf{b}\nabla) + \overset{\downarrow}{\mathbf{a}}(\mathbf{b}\nabla) = [\mathbf{b}[\nabla\mathbf{a}]] + (\mathbf{b}\nabla)\mathbf{a}$$

и аналогично второе слагаемое, доказываем справедливость тождества. \blacktriangleleft

Остальные случаи действия оператора ∇ на произведения двух функций предлагается разобрать самостоятельно (см. задачи 1.12–1.14 в конце настоящего раздела).

Дифференциальные операции второго порядка. В приложениях векторного анализа приходится иметь дело не только с выполнением операций grad , div , rot , но и с их различными комбинациями. Особенно часто встречаются так называемые операции второго порядка, т.е. попарные комбинации трех основных операций. Комбинируя символы grad , div , rot попарно, можно составить девять пар, однако смысл имеют лишь следующие пять:

- 1) $\text{rot grad } f = [\nabla, \nabla f] = [\nabla, \nabla]f = 0,$
- 2) $\text{div grad } f = (\nabla, \nabla f) = (\nabla, \nabla)f = \nabla^2 f = \Delta f,$
- 3) $\text{div rot } \mathbf{a} = (\nabla[\nabla \mathbf{a}]) = 0,$
- 4) $\text{rot rot } \mathbf{a} = [\nabla[\nabla \mathbf{a}]] = \nabla(\nabla \mathbf{a}) - (\nabla, \nabla)\mathbf{a} = \text{grad div } \mathbf{a} - \Delta \mathbf{a}$ (1.18)
- («ротор ротора есть градиент дивергенции минус лапласиан»),
- 5) $\text{grad div } \mathbf{a}$ — см. п. 4.

Скалярный дифференциальный оператор $\Delta = \nabla^2$ [см. п. 2 в (1.18)] называется оператором Лапласа и в д.с.к. записывается как

$$\Delta = \frac{\partial^2}{\partial x^2} + \frac{\partial^2}{\partial y^2} + \frac{\partial^2}{\partial z^2}. \quad (1.19)$$

Интегральные соотношения. Теоремы Остроградского (1.12) и Стокса (1.14) позволяют получать другие интегральные соотношения. Рассмотрим два примера.

Пример 1.7. Доказать, что

$$\int_V \text{grad } f \, dV = \oint_S f \, d\mathbf{S}. \quad (1.20)$$

Решение. Положим в формуле Остроградского (1.12) $\mathbf{a} = \mathbf{c}f$, где \mathbf{c} — произвольный постоянный вектор. Вычисляя дивергенцию, находим

$$\text{div } \mathbf{a} = \text{div } (\mathbf{c}f) = \mathbf{c} \text{ grad } f.$$

Подставляя в (1.12), приходим к равенству

$$\left(\mathbf{c}, \int_V \text{grad } f \, dV \right) = \left(\mathbf{c}, \oint_S f \, d\mathbf{S} \right).$$

В силу произвольности вектора \mathbf{c} получаем (1.20). ◀

Пример 1.8. Доказать, что

$$- \int_S [\text{grad } f \, d\mathbf{S}] = \oint_L f \, d\mathbf{l}. \quad (1.21)$$

Решение. Положим $\mathbf{a} = \mathbf{c}f$ в формуле Стокса (1.14). Вычисляя ротор, находим

$$\operatorname{rot} \mathbf{a} = \operatorname{rot}(\mathbf{c}f) = -[\mathbf{c} \operatorname{grad} f],$$

так что

$$-\left(\mathbf{c}, \int_S [\operatorname{grad} f d\mathbf{S}]\right) = \left(\mathbf{c}, \oint_L f d\mathbf{l}\right).$$

Отсюда получаем соотношение (1.20). ◀

Задачи для самостоятельного решения

1.9. Вычислить: а) $\operatorname{grad} r$; б) $\operatorname{grad} r^2$; в) $\operatorname{grad} \frac{1}{r}$, где $r = |\mathbf{r}|$, $\mathbf{r} = x\mathbf{i} + y\mathbf{j} + z\mathbf{k}$.

1.10. Найти $\operatorname{grad}(\mathbf{c}\mathbf{r})$, где \mathbf{c} — постоянный вектор, \mathbf{r} — радиус-вектор из начала координат.

1.11. Вычислить: а) $\operatorname{div} \mathbf{r}$; б) $\operatorname{rot} \mathbf{r}$.

1.12. Вычислить $\operatorname{div}(f\mathbf{a})$.

1.13. Вычислить $\operatorname{rot}(f\mathbf{a})$.

1.14. Доказать, что $\operatorname{rot}[\mathbf{a}\mathbf{b}] = (\mathbf{b}\nabla)\mathbf{a} - (\mathbf{a}\nabla)\mathbf{b} + \mathbf{a} \operatorname{div} \mathbf{b} - \mathbf{b} \operatorname{div} \mathbf{a}$.

1.15. Вычислить: а) $\operatorname{div} \frac{\mathbf{r}}{r}$; б) $\operatorname{div}[\mathbf{c}\mathbf{r}]$, где \mathbf{c} — постоянный вектор.

1.16. Вычислить: а) $\operatorname{rot}(f(r)\mathbf{r})$; б) $\operatorname{rot}[\mathbf{c}\mathbf{r}]$, где \mathbf{c} — постоянный вектор.

1.17. Доказать равенство $[[\mathbf{M}\nabla]\mathbf{r}] = -2\mathbf{M}$.

1.18. Вычислить $\operatorname{grad} \frac{(\mathbf{d}\mathbf{r})}{r^3}$, где \mathbf{d} — постоянный вектор.

1.19. Вычислить $\operatorname{rot} \frac{[\mathbf{M}\mathbf{r}]}{r^3}$, где \mathbf{M} — постоянный вектор.

1.20. Вычислить: а) $(\mathbf{a}\nabla)\mathbf{r}$; б) $(\mathbf{a}\nabla)f(r)$; в) $(\mathbf{a}\nabla)(\mathbf{c}\mathbf{r})$.

1.21. Вычислить $\operatorname{div}(\mathbf{b}(\mathbf{r}\mathbf{a}))$, где \mathbf{a}, \mathbf{b} — постоянные векторы.

1.22. Доказать, что циркуляция вектора $\mathbf{a} = f(r)\mathbf{r}$ вдоль произвольного замкнутого контура равна нулю.

1.23. Доказать интегральное равенство

$$\int \operatorname{rot} \mathbf{a} dV = \oint [d\mathbf{S}\mathbf{a}].$$

1.3. Криволинейные координаты

При решении задач электродинамики часто приходится использовать, наряду с декартовой, другие системы координат. Если тройка чисел u_i , $i =$

$= 1, 2, 3$ однозначно определяет положение произвольной точки в пространстве, то величины u_i можно рассматривать как координаты точек пространства. Очевидно, координаты u_i могут быть выражены через декартовы координаты x, y, z : $u_i = u_i(x, y, z)$.

Уравнение $u_i(x, y, z) = C_i$ задает в пространстве *координатную поверхность*. (Какие поверхности являются координатными в д.с.к.?) Придавая C_i различные значения, получим семейство координатных поверхностей. Таким образом, имеется три семейства координатных поверхностей (для $i = 1, 2, 3$), причем через любую точку пространства проходит по одной поверхности каждого из трех семейств. Линии, по которым пересекаются координатные поверхности из разных семейств, называются *координатными линиями*. В д.с.к. — это прямые, параллельные координатным осям. В произвольной системе координат u_i координатные линии, вообще говоря, кривые, поэтому координаты называют криволинейными. Система координат называется *ортогональной*, если в любой точке пространства координатные линии ортогональны друг другу. Ортогональными являются, в частности, сферическая и цилиндрическая системы координат.

Если в некоторой точке пространства провести касательные к координатным линиям и направить по ним единичные векторы $\mathbf{e}_1, \mathbf{e}_2, \mathbf{e}_3$ в сторону возрастания соответствующей координаты, то получим ортогональный нормированный базис. Заметим, что в отличие от д.с.к., определяемой тремя постоянными единичными векторами $\mathbf{i}, \mathbf{j}, \mathbf{k}$, этот базис будет меняться от точки к точке. Это не мешает, однако, любой вектор, заданный в произвольной точке M (т.е. любое векторное поле), записать в виде линейной комбинации $\mathbf{e}_1, \mathbf{e}_2, \mathbf{e}_3$.

Сферические и цилиндрические координаты. Рассмотрим *сферическую систему координат* (с.с.к.), в которой положение точки M в пространстве определяется следующими тремя величинами (рис. 3):

- 1) расстоянием r от начала координат до точки M ;
- 2) углом θ между положительным направлением оси z и отрезком OM ;
- 3) углом φ между положительным направлением оси x и проекцией OM_1 отрезка OM на плоскость xy .

Из рисунка видно, что декартовы координаты точки M связаны с ее сферическими координатами следующими соотношениями:

$$x = r \sin \theta \cos \varphi, \quad y = r \sin \theta \sin \varphi, \quad z = r \cos \theta. \quad (1.22)$$

Когда точка M пробегает все пространство, сферические координаты изменяются в пределах

$$0 \leq r < \infty, \quad 0 \leq \theta \leq \pi, \quad 0 \leq \varphi < 2\pi. \quad (1.23)$$

Рассмотрим элемент объема между тремя парами бесконечно близких координатных поверхностей: двумя сферами радиусами r и $r + dr$, двумя

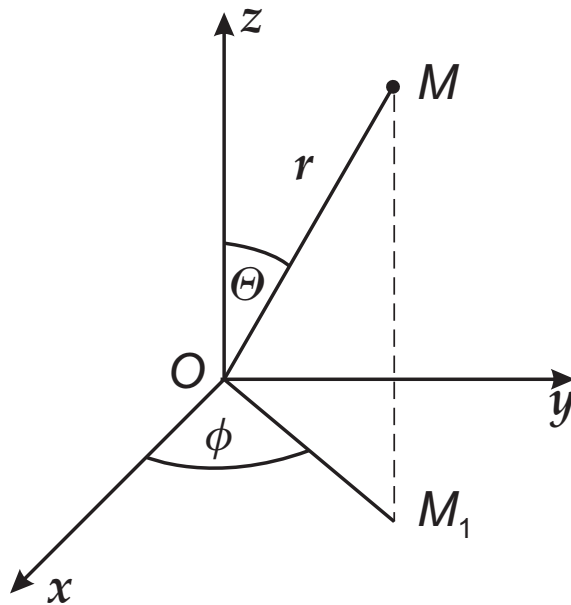


Рис. 3

полуконусами, определяемыми углами θ и $\theta + d\theta$, и двумя полуплоскостями, составляющими углы φ и $\varphi + d\varphi$ с плоскостью xz (рис. 4). Этот элемент объема представляет собой, с точностью до малых высшего порядка, прямоугольный параллелепипед с ребрами $r d\theta$, dr и $r \sin \theta d\varphi$. Следовательно, объем этого параллелепипеда

$$dV = r^2 \sin \theta dr d\theta d\varphi. \quad (1.24)$$

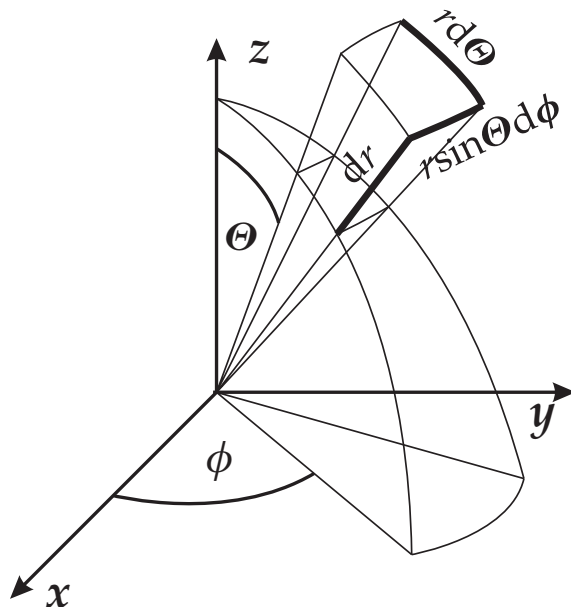


Рис. 4

Аналогично часть поверхности сферы радиусом r , ограниченную двумя

близкими меридианами и двумя близкими параллелями, можно рассматривать как бесконечно малый прямоугольник со сторонами $rd\theta$ и $r \sin \theta d\varphi$, площадь которого

$$dS = r^2 \sin \theta d\theta d\varphi. \quad (1.25)$$

Напомним также, что отношение площади dS части сферы к квадрату радиуса сферы определяет величину телесного угла, высекающего поверхность dS на сфере

$$d\Omega = \frac{dS}{r^2},$$

поэтому в сферических координатах

$$d\Omega = \sin \theta d\theta d\varphi. \quad (1.26)$$

Интегрируя $d\Omega$ по всем возможным значениям θ и φ , получим полный телесный угол

$$\Omega = \int_0^\pi \sin \theta d\theta \int_0^{2\pi} d\varphi = 4\pi, \quad (1.27)$$

равный отношению площади сферы $S = 4\pi r^2$ к квадрату радиуса.

В *цилиндрической системе координат* (ц.с.к.) положение точки M в пространстве задается ее декартовой координатой z и полярными координатами ¹ (ρ, φ) ее проекции на плоскость xy . Из рис. 5 видно, что декартовы координаты точки M выражаются через цилиндрические по формулам

$$x = \rho \cos \varphi, \quad y = \rho \sin \varphi, \quad z = z. \quad (1.28)$$

Если точка M может занимать любое положение в пространстве, то ее цилиндрические координаты меняются в пределах

$$0 \leq \rho < \infty, \quad 0 \leq \varphi < 2\pi, \quad -\infty < z < \infty. \quad (1.29)$$

Рассмотрим область, ограниченную двумя цилиндрическими поверхностями радиусов ρ и $\rho + d\rho$, двумя горизонтальными плоскостями, лежащими на уровнях z и $z + dz$, и двумя плоскостями, проходящими через ось z и составляющими с осью x углы φ и $\varphi + d\varphi$. Эту область можно считать прямоугольным параллелепипедом с ребрами $d\rho$, dz и $\rho d\varphi$ (рис. 6), объем которого

$$dV = \rho d\rho d\varphi dz. \quad (1.30)$$

¹ В разделах 2, 3 цилиндрические координаты ρ и φ в ряде случаев обозначаются как r и α .

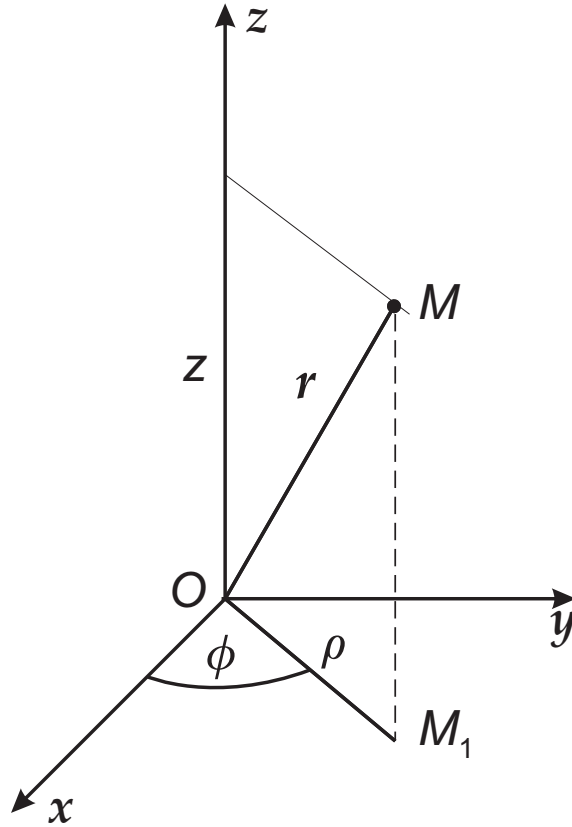


Рис. 5

Если выделить на боковой поверхности цилиндра радиусом ρ малый прямоугольник между двумя парами координатных линий, то его площадь будет

$$dS = \rho d\varphi dz. \quad (1.31)$$

Формулы для элементов объема (1.24), (1.30) и площади (1.25), (1.31) в сферических и цилиндрических координатах необходимы при вычислении объемных и поверхностных интегралов в этих системах координат.

Пример 1.9. Заряд распределен по объему шара радиусом R с плотностью $\rho = \rho_0(r/R)^2 \sin \theta \cos^2 \varphi$, где r, θ, φ — координаты с.с.к. с началом в центре шара. Найти полный заряд шара.

Решение. Вычисляя в с.с.к. объемный интеграл $\int \rho(\mathbf{r})dV$, через который выражается полный заряд Q шара, получаем

$$Q = \frac{\rho_0}{R^2} \int_0^R r^4 dr \int_0^\pi \sin^2 \theta d\theta \int_0^{2\pi} \cos^2 \varphi d\varphi = \frac{\pi^2}{10} \rho_0 R^3. \quad \blacktriangleleft$$

Пример 1.10. Заряд распределен по боковой поверхности цилиндра радиусом R и высотой $2h$ с плотностью $\sigma = \sigma_0 \cos^2 \varphi |z|/h$, где φ, z — координаты ц.с.к. с началом в центре цилиндра. Найти полный заряд цилиндра.

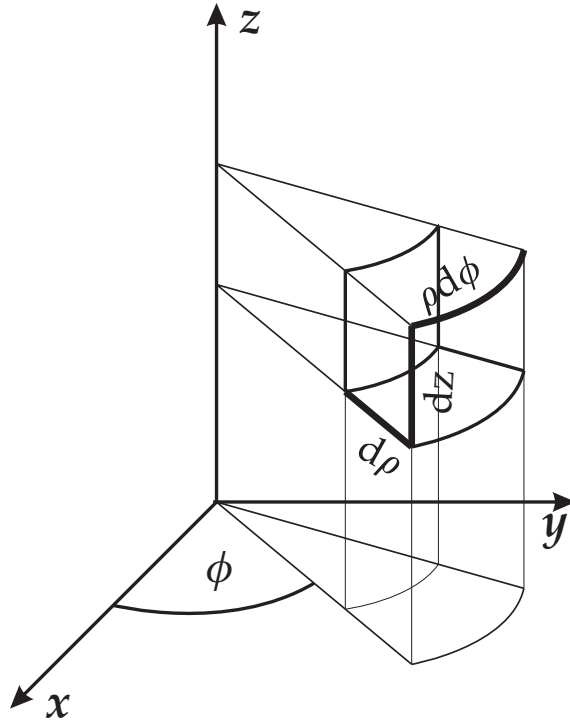


Рис. 6

Решение. Интегрируя по боковой поверхности в ц.с.к., находим

$$Q = \int \sigma dS = \frac{\sigma_0 R}{h} \int_0^{2\pi} \cos^2 \varphi d\varphi \int_{-h}^h |z| dz = \pi \sigma_0 R h. \quad \blacktriangleleft$$

Дифференциальные операции в криволинейных координатах.

Такие величины, как градиент, дивергенция, ротор, во многих случаях полезно записывать в тех или иных криволинейных системах координат. Найдем выражения для них в с.с.к. и ц.с.к. из простых геометрических соображений.

В с.с.к. градиент функции f может быть разложен по базисным векторам $\mathbf{e}_r, \mathbf{e}_\theta, \mathbf{e}_\varphi$ (рис. 7). Проекция $\text{grad } f$ на некоторое направление совпадает с производной f по этому направлению [см. (1.4)], следовательно, чтобы вычислить компоненты вектора $\text{grad } f$ в базисе $\mathbf{e}_r, \mathbf{e}_\theta, \mathbf{e}_\varphi$, нужно вычислить производные f по направлениям, определяемым этими векторами:

$$(\text{grad } f \cdot \mathbf{e}_i) = \frac{\partial f}{\partial l_i}.$$

Поскольку при малых перемещениях вдоль базисных векторов с.с.к.

$$dl_r = dr, \quad dl_\theta = r d\theta, \quad dl_\varphi = r \sin \theta d\varphi$$

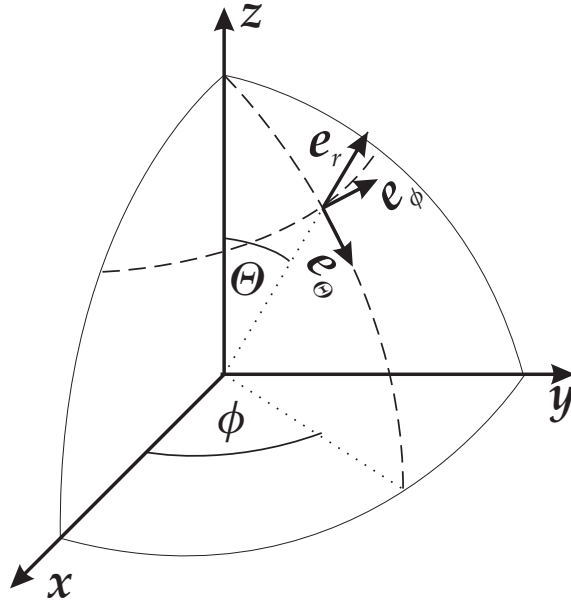


Рис. 7

(см. рис. 4), то

$$\text{grad } f = \frac{\partial f}{\partial r} \mathbf{e}_r + \frac{1}{r} \frac{\partial f}{\partial \theta} \mathbf{e}_\theta + \frac{1}{r \sin \theta} \frac{\partial f}{\partial \varphi} \mathbf{e}_\varphi. \quad (1.32)$$

В ц.с.к. величины бесконечно малых перемещений вдоль базисных векторов $\mathbf{e}_\rho, \mathbf{e}_\varphi, \mathbf{e}_z$ (рис. 8) составляют (см. рис. 6)

$$dl_\rho = d\rho, \quad dl_\varphi = \rho d\varphi, \quad dl_z = dz,$$

таким образом, в цилиндрических координатах градиент записывается как

$$\text{grad } f = \frac{\partial f}{\partial \rho} \mathbf{e}_\rho + \frac{1}{\rho} \frac{\partial f}{\partial \varphi} \mathbf{e}_\varphi + \frac{\partial f}{\partial z} \mathbf{e}_z. \quad (1.33)$$

Расчет дивергенции и ротора в криволинейных координатах основан на их инвариантных определениях (1.8), (1.13). Рассмотрим элемент объема в с.с.к. (рис. 4) и подсчитаем поток через его поверхность. Запишем векторное поле в виде

$$\mathbf{a} = a_r \mathbf{e}_r + a_\theta \mathbf{e}_\theta + a_\varphi \mathbf{e}_\varphi$$

и вычислим сначала поток вектора \mathbf{a} через элементы сфер радиусами $r + dr$ и r :

$$a_r(r + dr, \bar{\theta}, \bar{\varphi})(r + dr)^2 \sin \theta d\theta d\varphi - a_r(r, \bar{\theta}, \bar{\varphi})r^2 \sin \theta d\theta d\varphi \approx \frac{\partial(r^2 a_r)}{\partial r} \frac{1}{r^2} dV.$$

Здесь $\bar{\theta}, \bar{\varphi}$ — значения θ и φ в некоторой точке соответствующей грани, $dV = r^2 dr \sin \theta d\theta d\varphi$, знак «минус» возникает потому, что нормаль имеет

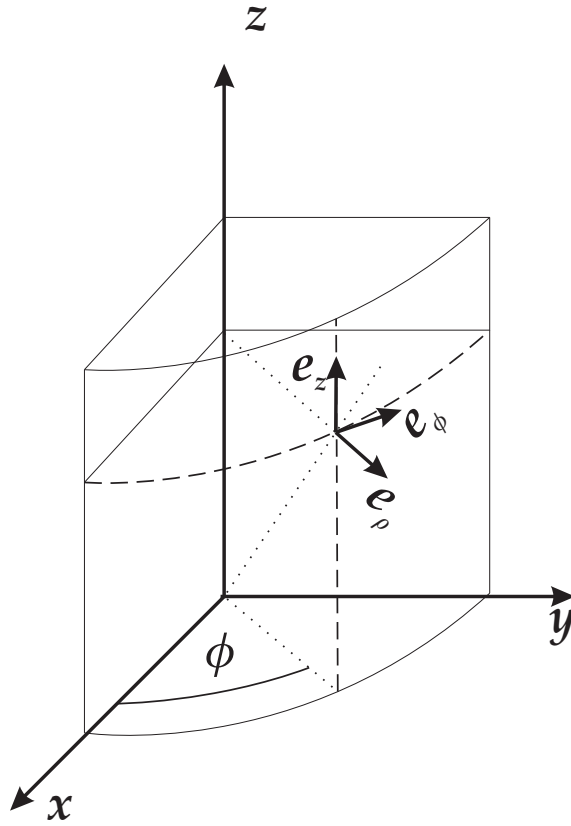


Рис. 8

противоположные направления на противоположных гранях. Точно так же вычисляется поток еще через две пары параллельных граней:

$$a_{\theta}(\bar{r}, \theta + d\theta, \bar{\varphi})[dr \cdot r \sin(\theta + d\theta)d\varphi] - a_{\theta}(\bar{r}, \theta, \bar{\varphi})[dr \cdot r \sin \theta d\varphi] \approx \frac{\partial(\sin \theta a_{\theta})}{\partial \theta} \frac{1}{r \sin \theta} dV$$

и

$$a_{\varphi}(\bar{r}, \bar{\theta}, \varphi + d\varphi)[dr \cdot r d\theta] - a_{\varphi}(\bar{r}, \bar{\theta}, \varphi)[dr \cdot r d\theta] \approx \frac{\partial a_{\varphi}}{\partial \varphi} \frac{1}{r \sin \theta} dV.$$

Складывая все три величины и деля на dV , находим выражение для дивергенции в сферических координатах:

$$\operatorname{div} \mathbf{a} = \frac{1}{r^2} \frac{\partial(r^2 a_r)}{\partial r} + \frac{1}{r \sin \theta} \frac{\partial(\sin \theta a_{\theta})}{\partial \theta} + \frac{1}{r \sin \theta} \frac{\partial a_{\varphi}}{\partial \varphi}. \quad (1.34)$$

Из инвариантного определения ротора (1.13) следует, что для определения компонент $\operatorname{rot} \mathbf{a}$ в точке M в некоторой системе координат требуется вычислить циркуляцию \mathbf{a} по трем контурам, ограничивающим бесконечно малые плоские площадки, включающие точку M и перпендикулярные базисным векторам, проведенным из этой точки. Вычислим циркуляцию \mathbf{a} по прямоугольному контуру, ограничивающему нижнюю грань элемента

объема в ц.с.к. (рис. 6). Поскольку стороны прямоугольника направлены по координатным линиям, а по величине равны $(\rho + d\rho)d\varphi$, $d\rho$, $\rho d\varphi$, $d\rho$, то циркуляция \mathbf{a} выражается через четыре слагаемых:

$$a_\varphi(\rho + d\rho, \bar{\varphi}, z)(\rho + d\rho)d\varphi - a_\rho(\bar{\rho}, \varphi + d\varphi, z)d\rho - a_\varphi(\rho, \bar{\varphi}, z)\rho d\varphi + a_\rho(\bar{\rho}, \varphi, z)d\rho \approx \left[\frac{\partial(\rho a_\varphi)}{\partial \rho} - \frac{\partial a_\rho}{\partial \varphi} \right] d\rho d\varphi.$$

Деля полученное выражение на площадь грани $dS = \rho d\rho d\varphi$, находим компоненту $\text{rot } \mathbf{a}$ в направлении базисного вектора \mathbf{e}_z :

$$(\text{rot } \mathbf{a})_z = \frac{1}{\rho} \frac{\partial(\rho a_\varphi)}{\partial \rho} - \frac{1}{\rho} \frac{\partial a_\rho}{\partial \varphi}. \quad (1.35)$$

Аналогично вычисляются две другие компоненты:

$$(\text{rot } \mathbf{a})_\rho = \frac{1}{\rho} \frac{\partial a_z}{\partial \varphi} - \frac{\partial a_\varphi}{\partial z}, \quad (1.36)$$

$$(\text{rot } \mathbf{a})_\varphi = \frac{\partial a_r}{\partial z} - \frac{\partial a_z}{\partial r}. \quad (1.37)$$

Точно так же можно найти дивергенцию в цилиндрических и ротор в сферических координатах, что предлагается сделать самостоятельно.

Исходя из выражений для $\text{grad } f$ и $\text{div } \mathbf{a}$, можно найти оператор Лапласа в криволинейных координатах, вычисляя $\Delta f = \text{div grad } f$.

В с.с.к. оператор Δ имеет следующий вид:

$$\Delta = \Delta_r + \frac{1}{r^2} \Delta_{\theta\varphi}, \quad (1.38)$$

где Δ_r — радиальная, а $\frac{1}{r^2} \Delta_{\theta\varphi}$ — угловая часть оператора Лапласа. Поскольку $\Delta_{\theta\varphi}$ содержит производные по углам θ , φ , то явное выражение для Δ_r можно найти, вычисляя результат действия оператора Лапласа на функцию, не зависящую от угловых переменных.

Пример 1.11. Вычислить $\Delta f(r)$, где $r = |\mathbf{r}| = \sqrt{x^2 + y^2 + z^2}$.

Решение. Учитывая, что

$$\Delta f(r) = \text{div grad } f(r) = \text{div} \frac{\partial f \mathbf{r}}{\partial r r} = \mathbf{r} \text{grad}(r^{-1} \partial f / \partial r) + r^{-1} \frac{\partial f}{\partial r} \text{div } \mathbf{r},$$

находим

$$\Delta f(r) = \Delta_r f(r) = \frac{\partial^2 f}{\partial r^2} + \frac{2}{r} \frac{\partial f}{\partial r} = \frac{1}{r^2} \frac{\partial}{\partial r} \left(r^2 \frac{\partial}{\partial r} \right) f. \quad \blacktriangleleft$$

Таким образом,

$$\Delta_r = \frac{1}{r^2} \frac{\partial}{\partial r} \left(r^2 \frac{\partial}{\partial r} \right). \quad (1.39)$$

Полезно иметь в виду, что $\Delta f(r)$ можно также записать как

$$\Delta f(r) = \frac{1}{r} \frac{d^2}{dr^2} (r f(r)). \quad (1.40)$$

Пример 1.12. Найти результат действия оператора Лапласа на функцию $f(\rho)$, где $\rho = \sqrt{x^2 + y^2}$.

Решение. В декартовых координатах

$$\Delta f(\rho) = \left(\frac{\partial^2}{\partial x^2} + \frac{\partial^2}{\partial y^2} \right) f(\rho).$$

Вычисляя вторую производную от f по x ,

$$\frac{\partial^2}{\partial x^2} f = \frac{\partial}{\partial x} \left(\frac{x}{\rho} \frac{\partial f}{\partial \rho} \right) = \frac{x^2}{\rho^2} \frac{\partial^2 f}{\partial \rho^2} + \frac{1}{\rho} \frac{\partial f}{\partial \rho} - \frac{x^2}{\rho^3} \frac{\partial f}{\partial \rho}$$

и аналогично вторую производную по y , находим

$$\Delta f(\rho) = \frac{\partial^2 f}{\partial \rho^2} + \frac{1}{\rho} \frac{\partial f}{\partial \rho}, \quad (1.41)$$

или

$$\Delta f(\rho) = \frac{1}{\rho} \frac{\partial}{\partial \rho} \left(\rho \frac{\partial f}{\partial \rho} \right). \quad \blacktriangleleft \quad (1.42)$$

В справочных целях в приложении приведена полная сводка формул для градиента, дивергенции, ротора и оператора Лапласа в сферических и цилиндрических координатах.

Задачи для самостоятельного решения

1.25. Найти выражение для $\operatorname{div} \mathbf{a}$ в цилиндрических координатах.

1.26. Найти выражение для $\operatorname{rot} \mathbf{a}$ в сферических координатах.

1.27. Вычислить $\operatorname{rot} \mathbf{r}$, $\operatorname{div} \mathbf{r}$ и $\operatorname{grad}(\mathbf{a} \cdot \mathbf{r})$ (\mathbf{a} — постоянный вектор) в сферической и цилиндрической системах координат.

1.28. Проверить эквивалентность трех форм для $\Delta f(r)$ в сферических координатах:

$$\frac{1}{r^2} \frac{d}{dr} \left(r^2 \frac{df}{dr} \right), \quad \frac{1}{r} \frac{d^2}{dr^2} (r f), \quad \frac{d^2 f}{dr^2} + \frac{2}{r} \frac{df}{dr}.$$

1.29. Найти результат действия оператора Лапласа на функцию $f(\rho)$ (где $\rho = \sqrt{x^2 + y^2}$), используя выражения для градиента и дивергенции в цилиндрических координатах [см. (П.8), (П.9)].

1.30. Найти сферически симметричное решение уравнения Лапласа $\Delta\varphi = 0$.

1.31. Найти цилиндрически симметричное решение уравнения Лапласа $\Delta\varphi = 0$.

Рекомендуемая литература: [1, приложение], [2, гл. I], [3, гл. 1], [4, гл. 1], [5, приложение].

2. Постоянное электрическое поле

Напряженность постоянного электрического поля $\mathbf{E}(\mathbf{r})$ удовлетворяет уравнениям Максвелла

$$\operatorname{div} \mathbf{E} = 4\pi\rho, \quad (2.1)$$

$$\operatorname{rot} \mathbf{E} = 0, \quad (2.2)$$

где $\rho(\mathbf{r})$ — объемная плотность зарядов, создающих электрическое поле. Интегральная форма уравнения (2.1)

$$\oint_S \mathbf{E} d\mathbf{S} = 4\pi Q_{\text{охв}} \quad (2.3)$$

(где $Q_{\text{охв}} = \int_V \rho dV$ — заряд, находящийся внутри замкнутой поверхности S , по которой ведется интегрирование в левой части) выражает электростатическую теорему Гаусса. В некоторых задачах с высокой степенью симметрии теорема Гаусса легко позволяет находить напряженность поля как функцию координат.

Уравнение (2.2) позволяет ввести электростатический потенциал соотношением

$$\mathbf{E} = -\nabla\varphi. \quad (2.4)$$

Потенциал $\varphi(\mathbf{r})$, который наравне с напряженностью \mathbf{E} характеризует постоянное электрическое поле, удовлетворяет уравнению Пуассона

$$\Delta\varphi = -4\pi\rho. \quad (2.5)$$

Точечный заряд e с радиусом-вектором \mathbf{r}' создает в точке \mathbf{r} поле, потенциал и напряженность которого даются выражениями

$$\varphi = \frac{e}{|\mathbf{r} - \mathbf{r}'|}, \quad \mathbf{E} = \frac{e(\mathbf{r} - \mathbf{r}')}{|\mathbf{r} - \mathbf{r}'|^3} \quad (2.6)$$

(закон Кулона).

Если заряды распределены с объемной плотностью $\rho(\mathbf{r}')$, то согласно закону Кулона для точечного заряда $\rho(\mathbf{r}')dV'$ и принципу суперпозиции потенциал φ и напряженность \mathbf{E} в точке наблюдения с радиусом-вектором \mathbf{r} можно представить в следующем виде:

$$\varphi(\mathbf{r}) = \int \frac{\rho(\mathbf{r}')dV'}{|\mathbf{r} - \mathbf{r}'|}, \quad (2.7)$$

$$\mathbf{E}(\mathbf{r}) = \int \frac{\rho(\mathbf{r}')(\mathbf{r} - \mathbf{r}')}{|\mathbf{r} - \mathbf{r}'|^3}dV'. \quad (2.8)$$

Потенциал (2.7) удовлетворяет уравнению Пуассона (2.5) и является его решением в неограниченном пространстве, если объемный интеграл сходится.

Если заряды в пространстве распределены по поверхности с поверхностной плотностью σ , то потенциал вычисляется по формуле

$$\varphi(\mathbf{r}) = \int \frac{\sigma(\mathbf{r}')dS'}{|\mathbf{r} - \mathbf{r}'|}. \quad (2.9)$$

Линейный контур, заряженный с линейной плотностью λ , создает электрическое поле с потенциалом

$$\varphi(\mathbf{r}) = \int \frac{\lambda(\mathbf{r}')dl'}{|\mathbf{r} - \mathbf{r}'|}. \quad (2.10)$$

Выражения (2.7), (2.8) упрощаются на больших расстояниях от системы зарядов. Если начало координат, из которого проводится радиус-вектор \mathbf{r} в точку наблюдения и радиусы-векторы к зарядам, берется внутри заряженной системы, то при $r \gg a$ (a — линейный размер системы)

$$\varphi(\mathbf{r}) \approx \frac{q}{r} + \frac{\mathbf{d}\mathbf{r}}{r^3} + \frac{Q_{\alpha\beta}x_{\alpha}x_{\beta}}{2r^5}, \quad (2.11)$$

где введены обозначения

$$q = \int \rho(\mathbf{r})dV, \quad (2.12)$$

$$\mathbf{d} = \int \rho(\mathbf{r})\mathbf{r}dV, \quad (2.13)$$

$$Q_{\alpha\beta} = \int \rho(\mathbf{r})(3x_{\alpha}x_{\beta} - r^2\delta_{\alpha\beta})dV. \quad (2.14)$$

Величины (2.12), (2.13) и (2.14) называются полным зарядом, дипольным моментом и тензором квадрупольного момента системы зарядов.

В случае зарядов e_i , расположенных в точках с радиусами-векторами \mathbf{r}_i ($i = 1, \dots, N$), объемная плотность зарядов выражается через δ -функцию:

$$\rho(\mathbf{r}) = \sum_{i=1}^N e_i \delta(\mathbf{r} - \mathbf{r}_i), \quad (2.15)$$

а величины (2.13), (2.14) принимают вид

$$\mathbf{d} = \sum_{i=1}^N e_i \mathbf{r}_i, \quad (2.16)$$

$$Q_{\alpha\beta} = \sum_{i=1}^N e_i (3x_\alpha x_\beta - r^2 \delta_{\alpha\beta}). \quad (2.17)$$

Если заряды в пространстве распределены по поверхности с поверхностной плотностью σ , то полный заряд, дипольный момент и тензор квадрупольного момента выражаются через интегралы (2.12), (2.13), (2.14), в которых произведена замена

$$\rho(\mathbf{r})dV \rightarrow \sigma(\mathbf{r})dS, \quad (2.18)$$

а интегрирование производится по заряженной поверхности.

Аналогично для линейного контура, заряженного с линейной плотностью λ , в интегралах (2.12), (2.13), (2.14) производится замена

$$\rho(\mathbf{r})dV \rightarrow \lambda(\mathbf{r})dl, \quad (2.19)$$

а интегрирование производится по заряженному контуру.

Энергия электростатического поля

$$U = \frac{1}{8\pi} \int \mathbf{E}^2 dV \quad (2.20)$$

может быть также вычислена по формуле

$$U = \frac{1}{2} \int \rho\varphi dV. \quad (2.21)$$

Электростатическая энергия взаимодействия двух систем, заряженных с объемными плотностями $\rho_1(\mathbf{r})$ и $\rho_2(\mathbf{r}')$, вычисляется по формуле

$$U = \int \frac{\rho_1(\mathbf{r})\rho_2(\mathbf{r}')}{|\mathbf{r} - \mathbf{r}'|} dV dV'. \quad (2.22)$$

Потенциальная энергия зарядов, распределенных с плотностью $\rho(\mathbf{r})$ во внешнем электрическом поле с потенциалом $\varphi(\mathbf{r})$, определяется выражением

$$U = \int \rho(\mathbf{r})\varphi(\mathbf{r})dV. \quad (2.23)$$

Если потенциал $\varphi(\mathbf{r})$ внешнего электрического поля незначительно меняется на протяжении заряженной системы, то выражение (2.23) заменяют сходящимся рядом

$$U = q\varphi(\mathbf{r}) - \mathbf{d}\mathbf{E} + \frac{1}{6} Q_{\alpha\beta} \frac{\partial^2 \varphi}{\partial x_\alpha \partial x_\beta} + \dots \quad (2.24)$$

Здесь потенциал и напряженность внешнего электрического поля, а также производные от потенциала берутся в точке с радиусом-вектором \mathbf{r} , лежащей внутри рассматриваемой системы. Эта внутренняя точка служит началом д.с.к., в которой определены величина \mathbf{d} и $Q_{\alpha\beta}$.

Сила \mathbf{F} и момент \mathbf{K} сил, приложенные к заряженной системе во внешнем электрическом поле напряженностью \mathbf{E} , даются выражениями

$$\mathbf{F} = \int \rho \mathbf{E} dV, \quad (2.25)$$

$$\mathbf{K} = \int [\mathbf{r}\mathbf{E}] \rho dV. \quad (2.26)$$

В частном случае электронейтральной системы с дипольным моментом \mathbf{d} во внешнем квазиоднородном поле соотношения (2.25), (2.26) принимают вид

$$\mathbf{F} = \nabla(\mathbf{d}\mathbf{E}) = (\mathbf{d}\nabla)\mathbf{E}, \quad (2.27)$$

$$\mathbf{K} = [\mathbf{d}\mathbf{E}]. \quad (2.28)$$

При помощи максвелловского тензора натяжений

$$T_{\alpha\beta} = \frac{1}{4\pi}(E_\alpha E_\beta - \frac{1}{2}E^2 \delta_{\alpha\beta}) \quad (2.29)$$

суммарную электростатическую силу (2.25), действующую на объем V , внутри которого распределен заряд с объемной плотностью ρ , можно вычислить через силы, приложенные к поверхности этого объема:

$$F_\alpha = \int_V \rho E_\alpha dV = \oint_S T_{\alpha\beta} n_\beta dS, \quad (2.30)$$

где \mathbf{n} — орт внешней нормали к замкнутой поверхности S , ограничивающей объем V .

Примеры решения задач

Пример 2.1. Шар радиусом R заряжен по объему зарядом Q с постоянной плотностью ρ . Найти распределение напряженности поля \mathbf{E} внутри и вне шара.

Решение. В силу сферической симметрии в распределении заряда напряженность поля \mathbf{E} направлена по радиусу, а модуль вектора \mathbf{E} зависит только от расстояния до центра шара: $\mathbf{E}(\mathbf{r}) = E(r)\frac{\mathbf{r}}{r}$. Применяв теорему Гаусса (2.3) к сферической поверхности радиусом $r \leq R$, концентрической заряженному шару, получим

$$E \cdot 4\pi r^2 = 4\pi\rho \cdot \frac{4}{3}\pi r^3; \quad E = \frac{4}{3}\pi\rho r; \quad \mathbf{E} = \frac{4}{3}\pi\rho\mathbf{r} = \frac{Q}{R^3}\mathbf{r}.$$

Для аналогичной сферической поверхности радиусом $r > R$ имеем

$$E \cdot 4\pi r^2 = 4\pi\rho \cdot \frac{4}{3}\pi R^3; \quad E = \frac{4}{3}\pi\rho\frac{R^3}{r^2}; \quad \mathbf{E} = \frac{4}{3}\pi\rho\frac{R^3}{r^3}\mathbf{r} = \frac{Q}{r^3}\mathbf{r}.$$

Итак,

$$\mathbf{E}(\mathbf{r}) = \begin{cases} \frac{4}{3}\pi\rho\mathbf{r} = \frac{Q}{R^3}\mathbf{r} & \text{при } r \leq R, \\ \frac{4}{3}\pi\rho\frac{R^3}{r^3}\mathbf{r} = \frac{Q}{r^3}\mathbf{r} & \text{при } r > R. \end{cases} \quad \blacktriangleleft \quad (2.31)$$

Поле вне шара таково, как если бы весь заряд был сосредоточен в его центре, а внутри шара поле прямо пропорционально расстоянию от центра шара.

Пример 2.2. Найти напряженность электрического поля, создаваемого бесконечной плоскостью, равномерно заряженной с поверхностной плотностью σ (рис. 9).

Решение. Из симметрии следует, что напряженность поля перпендикулярна плоскости. Применим теорему Гаусса, взяв в качестве вспомогательной поверхность цилиндра с основаниями, параллельными плоскости и находящимися на равных расстояниях от нее. Поток вектора \mathbf{E} через боковую поверхность равен нулю, так как $\mathbf{E} \perp \mathbf{n}_{\text{бок}}$, поэтому $\oint \mathbf{E}d\mathbf{S} = 2ES$, S — площадь основания цилиндра. Заряд, охваченный поверхностью цилиндра, равен σS . Поэтому согласно (2.3) получаем

$$E = 2\pi\sigma.$$

Напряженность имеет противоположные направления с разных сторон плоскости, так что нормальная составляющая претерпевает скачок $4\pi\sigma$ при переходе через плоскость. \blacktriangleleft

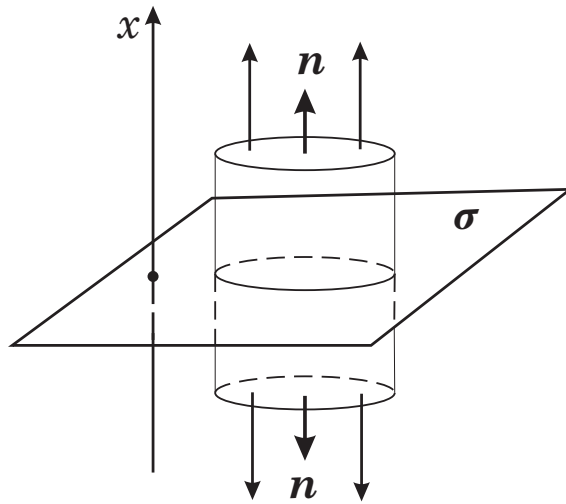


Рис. 9

Пример 2.3. Найти напряженность E и потенциал φ электрического поля бесконечной нити, равномерно заряженной с линейной плотностью λ (рис. 10).

Решение. Напряженность в любой точке пространства направлена

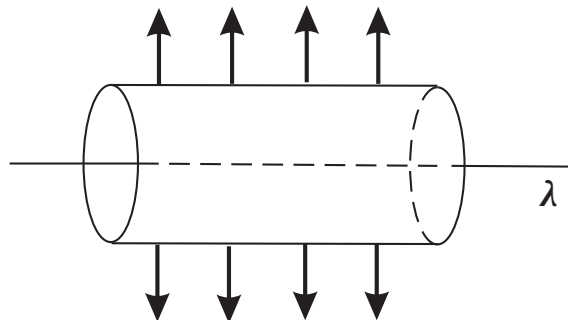


Рис. 10

вдоль перпендикуляра к нити, а величина E зависит только от расстояния ρ до нити. В качестве гауссовой поверхности выберем цилиндр, ось которого находится на нити. По теореме Гаусса найдем напряженность

$$E(\rho) = \frac{2\lambda}{\rho}.$$

Зная напряженность, с помощью (2.4) и (1.33) найдем потенциал

$$\varphi(\rho) = -2\lambda \ln \frac{\rho}{\rho_0},$$

где ρ_0 — расстояние до нити, при котором потенциал принят равным нулю. ◀

Пример 2.4. Найти распределение потенциала электрического поля, создаваемого шаром радиусом R , равномерно заряженным по объему полным зарядом Q .

Решение. Наличие симметрии в этой и некоторых других задачах позволяет найти потенциал, непосредственно решая уравнения Пуассона (2.5) в частных производных путем разделения переменных и сведения его к обыкновенным дифференциальным уравнениям. Ясно, что потенциал рассматриваемого поля зависит только от расстояния до центра шара, $\varphi = \varphi(r)$, потому согласно (1.39) уравнение Пуассона принимает вид

$$\frac{1}{r^2} \frac{d}{dr} \left(r^2 \frac{d\varphi}{dr} \right) = -4\pi\rho, \quad (2.32)$$

где

$$\rho = \begin{cases} \rho_0 \equiv \frac{Q}{4\pi R^3/3} & \text{при } r \leq R, \\ 0 & \text{при } r > R. \end{cases}$$

Интегрированием находим:

1) внутри шара ($r \leq R$)

$$r^2 \frac{d\varphi_1}{dr} = -\frac{4\pi\rho_0 r^3}{3} + C_1, \quad \varphi_1 = -\frac{4\pi\rho_0 r^2}{3} \frac{r^2}{2} - \frac{C_1}{r} + C_2;$$

из условия ограниченности потенциала при $r = 0$ следует, что $C_1 = 0$;

2) вне шара ($r > R$)

$$\frac{1}{r^2} \frac{d}{dr} \left(r^2 \frac{d\varphi_2}{dr} \right) = 0, \quad \varphi_2 = -\frac{C_3}{r} + C_4;$$

из условия $\varphi|_{r=\infty} = 0$ следует, что $C_4 = 0$.

Постоянные интегрирования C_2 и C_3 определяются граничными условиями $\varphi_1 = \varphi_2$ и $\frac{d\varphi_1}{dr} = \frac{d\varphi_2}{dr}$ при $r = R$ (поскольку правая часть (2.32) имеет в этой точке лишь конечный разрыв), которые приводят к уравнениям

$$\begin{cases} -2\pi\rho_0 R^2/3 + C_2 = -C_3/R, \\ -4\pi\rho_0 R/3 = C_3/R^2. \end{cases}$$

Решая их, определяем значения постоянных $C_3 = -Q$, $C_2 = 3Q/(2R)$ и находим потенциал

$$\varphi(\mathbf{r}) = \begin{cases} \frac{3Q}{2R} - \frac{Q}{2R^3} r^2 & \text{при } 0 \leq r \leq R, \\ \frac{Q}{r} & \text{при } r > R. \end{cases} \blacktriangleleft$$

Пример 2.5. Каким распределением зарядов создается потенциал, в сферических координатах имеющий вид $\varphi(r) = (q/r) \exp(-\alpha r)$, где α, q — постоянные?

Решение. Действуя оператором Лапласа на потенциал, получим

$$\begin{aligned} \Delta\varphi &= q\Delta\frac{e^{-\alpha r}}{r} = q\Delta\frac{1}{r} + q\Delta\frac{e^{-\alpha r} - 1}{r} = \\ &= -4\pi q\delta(\mathbf{r}) + \frac{q}{r} \frac{d^2}{dr^2} \left(r \frac{e^{-\alpha r} - 1}{r} \right) = -4\pi q\delta(\mathbf{r}) + \frac{q\alpha^2 e^{-\alpha r}}{r} \end{aligned}$$

[результат действия оператора Δ на $1/r$ можно получить из формул (2.5), (2.6), (2.15)]. Таким образом, имеется точечный заряд q в начале координат и сферически симметрично распределенный объемный заряд с плотностью $\rho = -\frac{q\alpha^2 e^{-\alpha r}}{4\pi r}$, $\int \rho dV = -q$. ◀

Пример 2.6. В шаре, равномерно заряженном по объему с постоянной плотностью ρ , имеется сферическая полость, центр которой отстоит от центра шара на расстояние a . Полость находится целиком внутри шара. Найти напряженность поля внутри полости (рис. 11).

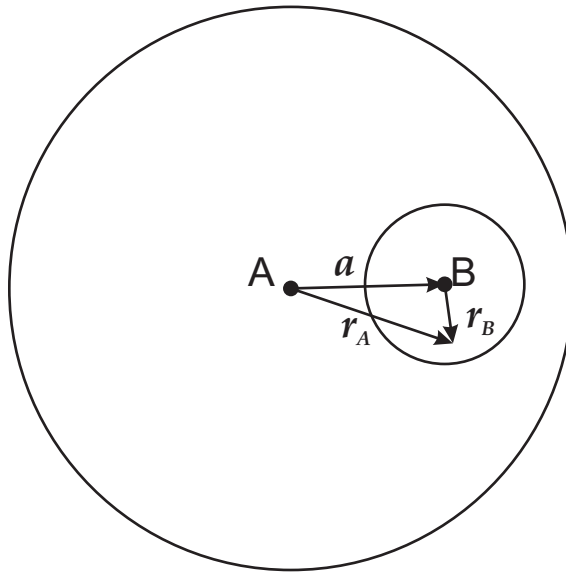


Рис. 11

Воспользовавшись принципом суперпозиции, представим напряженность \mathbf{E}_A поля сплошного шара с центром в точке A как сумму напряженности \mathbf{E}_B поля малого шара с центром в точке B и напряженности \mathbf{E} тела с полостью. Отсюда

$$\mathbf{E} = \mathbf{E}_A - \mathbf{E}_B. \quad (2.33)$$

Согласно (2.31) для точек внутри полости $\mathbf{E}_A = \frac{4}{3}\pi\rho\mathbf{r}_A$, $\mathbf{E}_B = \frac{4}{3}\pi\rho\mathbf{r}_B$. Поскольку $\mathbf{r}_A - \mathbf{r}_B = \mathbf{a}$, то

$$\mathbf{E} = \frac{4}{3}\pi\rho\mathbf{a}.$$

Таким образом, поле внутри полости однородно. Обратим внимание, что формула (2.33) позволяет найти поля шара с полостью в произвольной точке пространства, если известны радиусы R_A и R_B . ◀

Пример 2.7. Найти потенциал φ и напряженность \mathbf{E} электрического поля на оси круглого тонкого диска радиусом a , равномерно заряженного с поверхностной плотностью σ (рис. 12).

Решение. Направим ось z по оси диска. Элемент диска с площадью dS' , находящийся на расстоянии ρ' от центра, создает в точке с координатой z на оси диска потенциал $d\varphi = \sigma dS' / \sqrt{z^2 + \rho'^2}$. Весь диск создает в этой точке потенциал

$$\varphi = \int \frac{\sigma dS'}{\sqrt{\rho'^2 + z^2}}.$$

Вычисляя интеграл в полярной системе координат (ρ', α') , получим

$$\varphi = \sigma \int_0^a \frac{\rho' d\rho'}{\sqrt{\rho'^2 + z^2}} \int_0^{2\pi} d\alpha' = 2\pi\sigma(\sqrt{z^2 + a^2} - |z|). \quad (2.34)$$

Напряженность \mathbf{E} электрического поля на оси направлена, очевидно, вдоль оси, поэтому формула (2.4) дает

$$E_z = -\frac{\partial\varphi}{\partial z} = -2\pi\sigma \left(\frac{z}{\sqrt{z^2 + a^2}} - \text{sign } z \right). \quad (2.35)$$

Расчет напряженности по формуле (2.8) [с заменой (2.18)] приводит к тому же результату (проверьте!). Из физических соображений ясно, что при больших значениях $|z|$ поле диска становится похожим на поле точечного заряда, а при малых — на поле бесконечной плоскости. Убедитесь в этом, исследуя выражения (2.34), (2.35) при $|z| \gg a$ и $|z| \ll a$. ◀

Пример 2.8. Отрезок нити длиной $2l$ равномерно заряжен с линейной плотностью λ . Найти потенциал в произвольной точке пространства.

Решение. Выберем систему координат с началом в центре отрезка и осью z , направленной вдоль него. Тогда согласно (2.10)

$$\varphi(\mathbf{r}) = \int_{-l}^{+l} \frac{\lambda dz'}{\sqrt{x^2 + y^2 + (z' - z)^2}}.$$

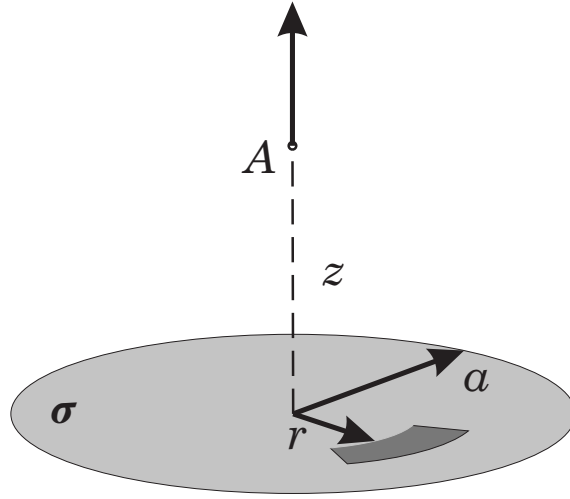


Рис. 12

Интегрирование дает

$$\varphi = \lambda \ln \frac{\sqrt{\rho^2 + (l - z)^2} + l - z}{\sqrt{\rho^2 + (l + z)^2} - l - z}, \quad (2.36)$$

где $\rho^2 = x^2 + y^2$. Рассмотрим поле вблизи центра отрезка: $|x|, |y|, |z| \ll l$. Опуская x, y, z в числителе под логарифмом и разлагая корень в знаменателе

$$\sqrt{\rho^2 + (l + z)^2} = (l + z) \sqrt{1 + \frac{\rho^2}{(l + z)^2}} \approx (l + z) \left(1 + \frac{\rho^2}{2(l + z)^2} \right),$$

находим

$$\varphi \approx -2\lambda \ln \frac{\rho}{2l}. \quad (2.37)$$

Поскольку вблизи отрезка потенциал зависит только от ρ , то напряженность поля в ц.с.к. имеет единственную компоненту [см. (1.33)]:

$$E_\rho \approx \frac{2\lambda}{\rho}. \quad (2.38)$$

Последний результат легко получить, найдя напряженность поля заряженной бесконечной прямой нити по теореме Гаусса.

Вдали от отрезка нити, когда $l \ll r = (x^2 + y^2 + z^2)^{1/2}$, имеем

$$\sqrt{x^2 + y^2 + (z \pm l)^2} \approx r(1 \pm zl/r^2).$$

Упрощая точное выражение (2.36), получаем потенциал точечного заряда $2\lambda l$:

$$\varphi \approx \lambda \ln \frac{r - zl/r + l - z}{r + zl/r - l - z} = \lambda \ln \frac{r + l}{r - l} \approx \frac{2\lambda l}{r}. \quad \blacktriangleleft \quad (2.39)$$

Пример 2.9. Используя принцип суперпозиции, найти электростатический потенциал, создаваемый сферой радиусом a , равномерно заряженной с поверхностной плотностью σ .

Решение. Применение принципа суперпозиции и закона Кулона приводит к выражению (2.9). Поскольку величина потенциала зависит только от расстояния до центра сферы (в нем расположим начало координат), то, не ограничивая общности, выберем точку наблюдения на оси z . Учитывая, что $|\mathbf{r}'| = a$, $|\mathbf{r} - \mathbf{r}'| = \sqrt{r^2 + a^2 - 2ar \cos \theta'}$, а элемент площади на сфере $dS' = a^2 \sin \theta' d\theta' d\alpha'$ (r', θ', α' — координаты с.с.к.), приходим к

$$\varphi = 2\pi\sigma a^2 \int_0^\pi \frac{\sin \theta' d\theta'}{\sqrt{r^2 + a^2 - 2ar \cos \theta'}} = \frac{2\pi\sigma a}{r} (r + a - |r - a|).$$

Рассматривая области внутри ($r < a$) и снаружи ($r > a$) сферы, получим

$$\varphi(r) = \begin{cases} 4\pi a\sigma & \text{при } r \leq a, \\ \frac{4\pi a^2\sigma}{r} & \text{при } r > a. \end{cases} \quad \blacktriangleleft$$

Пример 2.10. Сфера радиусом R заряжена с поверхностной плотностью $\sigma = \sigma_0 \cos \theta$. Найти скалярный потенциал в произвольной точке пространства.

Решение. Формулы (2.7), (2.9), (2.10) в общем виде определяют потенциал поля по плотности зарядов (если интегралы в них сходятся). Для вычисления интегралов полезно использовать разложение функции $|\mathbf{r} - \mathbf{r}'|^{-1}$ по сферическим функциям (*мультипольное разложение*):

$$\frac{1}{|\mathbf{r} - \mathbf{r}'|} = \sum_{l=0}^{\infty} \sum_{m=-l}^l \frac{4\pi}{2l+1} \frac{r_{<}^l}{r_{>}^{l+1}} Y_{lm}(\theta, \alpha) Y_{lm}^*(\theta', \alpha'). \quad (2.40)$$

Здесь $r_{<} = \min(r, r')$; $r_{>} = \max(r, r')$; Y_{lm} — сферическая функция (некоторые сведения о них приведены в прил. 2); θ, α — углы вектора \mathbf{r} ; θ', α' — углы вектора \mathbf{r}' в некоторой сферической системе координат. Поскольку в членах ряда (2.40) зависимость от r', θ', α' выделена в факторизованном виде, это упрощает интегрирование в (2.7), (2.9), (2.10) и позволяет преобразовать общие выражения для потенциала.

Применим мультипольное разложение к вычислению потенциала сферы. Подставляя (2.40) в (2.9) и учитывая, что на сфере $dS' = R^2 \sin \theta' d\theta' d\alpha'$, а также выражая $\cos \theta'$ через Y_{10} по формуле (П.17), получим

$$\varphi(\mathbf{r}) = R^2 \sum_{kq} \frac{4\pi\sigma_0}{2k+1} \frac{r_{<}^k}{r_{>}^{k+1}} Y_{kq}(\theta, \alpha) \int \sqrt{\frac{4\pi}{3}} Y_{10}(\theta', \alpha') Y_{kq}^*(\theta', \alpha') \sin \theta' d\theta' d\alpha'.$$

Интеграл здесь, согласно условию ортогональности (П.18), пропорционален произведению символов Кронекера $\delta_{k1}\delta_{q0}$, поэтому от суммы остается единственный член и

$$\varphi(\mathbf{r}) = \frac{4\pi\sigma_0}{3} R^2 \frac{r_{<}}{r_{>}^2} \cos \theta.$$

Отсюда находим

$$\varphi(\mathbf{r}) = \begin{cases} \frac{4\pi\sigma_0}{3} r \cos \theta & \text{при } r \leq R, \\ \frac{4\pi\sigma_0}{3} \frac{R^3}{r^2} \cos \theta & \text{при } r > R. \end{cases} \blacktriangleleft$$

Пример 2.11. Равномерно заряженная половина тонкого стержня имеет заряд q , другая половина имеет заряд $-q$. Длина стержня — $2l$. Найти дипольный момент стержня.

Решение. Очевидно, что дипольный момент \mathbf{d} направлен вдоль стержня в сторону положительного заряда. Направив ось x с началом в середине стержня вдоль \mathbf{d} , вычислим

$$d_x = \int_{-l}^{+l} \lambda(x) x dx = \int_{-l}^0 (-q/l) x dx + \int_0^{+l} (q/l) x dx = ql. \quad (2.41)$$

Обратим внимание, что дипольный момент стержня, как и любой электронеutralной системы, можно представить в виде

$$\mathbf{d} = q(\mathbf{R}^+ - \mathbf{R}^-), \quad (2.42)$$

где \mathbf{R}^\pm — радиусы-векторы центров положительного и отрицательного зарядов, q — суммарный положительный заряд. \blacktriangleleft

Пример 2.12. Верхняя половина шара равномерно заполнена зарядом q , нижняя половина — зарядом $-q$. Радиус шара — R . Найти дипольный момент \mathbf{d} шара.

Решение. Выберем начало координат в центре шара и направим ось z вертикально в сторону положительных зарядов. Тогда $\mathbf{d} = (0, 0, d_z)$. Вычисляя $d_z = \int z\rho(\mathbf{r})dV$ в сферических координатах,

$$d_z = \frac{3q}{2\pi R^3} \int_0^R r^3 dr \int_0^{\pi/2} \cos \theta \sin \theta d\theta \int_0^{2\pi} d\varphi - \frac{3q}{2\pi R^3} \int_0^R r^3 dr \int_{\pi/2}^{\pi} \cos \theta \sin \theta d\theta \int_0^{2\pi} d\varphi,$$

находим

$$d = \frac{3}{4} qR. \quad \blacktriangleleft$$

Пример 2.13. В вершинах квадрата со стороной $2a$ расположены точечные заряды $\pm e$ так, что соседние заряды имеют разные знаки (плоский квадруполь). Найти тензор квадрупольного момента $Q_{\alpha\beta}$ в системе координат с осями x и y , направленными по диагоналям квадрата.

Решение. Очевидно, что выбранные оси координат являются главными для тензора квадрупольного момента, т.е. $Q_{\alpha\beta}$ диагонален в этих осях. Пусть на оси x расположены заряды e , тогда на оси y лежат заряды $-e$. Вычислим согласно (2.17)

$$Q_{xx} = 2[e(3 \cdot 2a^2 - 2a^2)] + 2(-e)(-2a^2) = 12ea^2.$$

Аналогично $Q_{yy} = -12ea^2$, $Q_{zz} = 0$. ◀

Пример 2.14. Шар, по которому равномерно распределен заряд q , находится на большом расстоянии от элементарного диполя \mathbf{d} . Найти силу, действующую на диполь.

Решение. Согласно (2.24) энергия диполя в поле шара дается выражением

$$U = -\mathbf{d}\mathbf{E},$$

где \mathbf{E} — напряженность поля, создаваемая шаром, т.е. $\mathbf{E} = \frac{q\mathbf{r}}{r^3}$, \mathbf{r} — радиус-вектор, проведенный от шара к диполю. Вычисляя силу, действующую на диполь как $\mathbf{F} = -\nabla U$, находим

$$\mathbf{F} = -\frac{3q(\mathbf{d}\mathbf{r})\mathbf{r}}{r^5} + \frac{q\mathbf{d}}{r^3}. \quad \blacktriangleleft$$

Пример 2.15. Заряд Q равномерно распределен по поверхности сферы радиусом R . Найти абсолютную величину силы, разрывающую сферу на две равные части.

Решение. На произвольный элемент dS поверхности сферы действует сила $d\mathbf{F}$, направленная по нормали \mathbf{n} к поверхности. Чтобы найти величину этой силы, требуется вычислить напряженность электрического поля \mathbf{E}' , создаваемого всей остальной частью заряженного шара в месте нахождения выделенного элемента dS . Представим по принципу суперпозиции поле \mathbf{E} заряженной сферы как векторную сумму \mathbf{E}' и поля \mathbf{E}'' , создаваемого элементом dS . В непосредственной близости от сферы снаружи напряженность $E = Q/R^2$, а внутри $E = 0$. Элемент dS при вычислении поля непосредственно у поверхности сферы можно считать плоским, поэтому поле \mathbf{E}'' имеет одинаковую величину и противоположное направление внутри и снаружи сферы. Таким образом, получаем два уравнения: $E' + E'' = Q/R^2$, $E' - E'' = 0$. Отсюда находим $\mathbf{E}' = \frac{Q}{2R^2}\mathbf{n}$ и

$$d\mathbf{F} = \sigma\mathbf{E}'dS = \frac{Q^2}{8\pi R^4}\mathbf{n}dS.$$

Направим ось z по оси полусферы, тогда суммарная сила $\mathbf{F} = \int d\mathbf{F} = F\mathbf{k}$. Без вычислений ясно, что при интегрировании по поверхности полусферы $\int \mathbf{n}dS = \mathbf{k} \int \cos \alpha dS = \pi R^2 \mathbf{k}$ (здесь α — угол между \mathbf{n} и \mathbf{k}), поскольку $\int \cos \alpha dS$ есть проекция поверхности полусферы на ее основание. Окончательно: на половину сферы действует сила

$$F = \frac{Q^2}{8R^2}. \quad (2.43)$$

Задача также может быть решена с использованием максвелловского тензора натяжений (2.29). Согласно (2.30)

$$F_\alpha = \int T_{\alpha\beta} n_\beta dS.$$

Подставляя в (2.29) напряженность поля на поверхности $\mathbf{E} = \frac{Q}{R^2} \mathbf{n}$ и проводя вычисления, приходим к (2.43). ◀

Задачи для самостоятельного решения

2.1. Найти напряженность \mathbf{E} электростатического поля, потенциал φ которого равен: а) $-\mathbf{ar}$; б) $\mathbf{a}[\mathbf{br}]$; в) \mathbf{dr}/r^3 ; г) $F(f(\mathbf{ar}))$. Здесь векторы \mathbf{a} , \mathbf{b} , \mathbf{d} не зависят от координат и времени, а f и F — произвольные дифференцируемые функции своего аргумента.

Ответ: а) \mathbf{a} ; б) $[\mathbf{ba}]$; в) $3(\mathbf{dr})\mathbf{r}/r^5 - \mathbf{d}/r^3$; г) $-\frac{dF}{df} \frac{df}{d(\mathbf{ar})} \mathbf{a}$.

2.2. Можно ли создать в пространстве электростатическое поле с напряженностью: а) $\mathbf{E} = [\mathbf{ar}]$; б) $\mathbf{E} = a(\mathbf{y}e_x - \mathbf{x}e_y)$?

2.3. Напряженность электрического поля \mathbf{E} в пространстве равна:

а) $(\mathbf{br})\mathbf{b}$; б) grr ;

в) $\frac{e\mathbf{r}}{r^3} \left\{ 1 - \left[1 + \frac{2r}{a} \left(1 + \frac{r}{a} \right) \right] \exp \left(-\frac{2r}{a} \right) \right\}$.

Здесь вектор \mathbf{b} и величины a , g и e не зависят от координат, а f — произвольная дифференцируемая функция своего аргумента. Найти распределение объемной плотности ρ заряда, создавшего это поле (обратная задача электростатики).

Ответ: а) $\frac{b^2}{4\pi}$; б) $\frac{gr}{\pi}$; в) $\frac{e}{\pi a^3} e^{-2r/a}$.

2.4. Напряженность электростатического поля определяется выражением: а) $\mathbf{E} = E_1\mathbf{e}_x + E_2\mathbf{e}_y + E_3\mathbf{e}_z$ (E_1, E_2, E_3 — константы); б) $\mathbf{E} = \frac{a}{r^3} \mathbf{r}$ (a — константа). Найти потенциал поля.

2.5. В шаре радиусом R_2 равномерно заряжен с объемной плотностью ρ внешний шаровой слой. Внутренний радиус слоя R_1 . Найти распределение напряженности поля \mathbf{E} во всех точках пространства.

$$\text{Ответ: } \mathbf{E}(\mathbf{r}) = \begin{cases} 0, & \text{для } r \leq R_1; \\ \frac{4}{3}\pi\rho \frac{r^3 - R_1^3}{r^3} \mathbf{r}, & \text{для } R_1 < r \leq R_2; \\ \frac{4}{3}\pi\rho \frac{R_2^3 - R_1^3}{r^3} \mathbf{r}, & \text{для } r > R_2. \end{cases}$$

2.6. Прямой круглый цилиндр бесконечной длины с радиусом сечения R заряжен равномерно с объемной плотностью ρ . Найти величину напряженности электрического поля \mathbf{E} во всех точках пространства: а) по теореме Гаусса; б) непосредственно решая уравнение Пуассона.

$$\text{Ответ: } E(r) = \begin{cases} 2\pi\rho r, & \text{для } r \leq R, \\ 2\pi\rho R^2/r, & \text{для } r > R, \end{cases}$$

r — расстояние до оси цилиндра.

2.7. Заряд распределен в пространстве по периодическому закону $\rho(x, y, z) = \rho_0 \cos \alpha x \cos \beta y \cos \gamma z$. Вычислить потенциал φ электрического поля.

2.8. Каким должно быть распределение зарядов, чтобы созданный ими потенциал имел в сферических координатах вид

$$\varphi(r) = \frac{e_0}{a} \left(\frac{a}{r} + 1 \right) \exp \left(-\frac{2r}{a} \right),$$

где e_0, a — постоянные?

Ответ: Точечный заряд e_0 в начале координат, окруженный объемным

$$\text{зарядом с плотностью } \rho(r) = -\frac{e_0}{\pi a^3} e^{-\frac{2r}{a}}.$$

2.9. Заряд распределен сферически симметричным образом: $\rho = \rho(r)$. Записать φ и \mathbf{E} в виде однократных интегралов по r , разбив распределение зарядов на сферические слои.

$$\text{Ответ: } \varphi(r) = \frac{4\pi}{r} \int_0^r \rho(r') r'^2 dr' + 4\pi \int_r^\infty \rho(r') r' dr';$$

$$\mathbf{E}(r) = \frac{4\pi\mathbf{r}}{r^3} \int_0^r \rho(r') r'^2 dr'.$$

2.10. Основываясь на результате предыдущей задачи, найти потенциал и напряженность поля равномерно заряженного шара.

2.11. Выразить потенциал φ равномерно заряженного тонкого кольца с зарядом q и радиусом R через однократный интеграл.

Указание: провести плоскость xz через точку наблюдения.

Ответ:
$$\varphi(r, \theta) = \frac{q}{\pi} \int_0^\pi \frac{d\alpha'}{\sqrt{r^2 + R^2 - 2rR \sin \theta \cos \alpha'}}.$$

2.12. Найти потенциал и напряженность электрического поля в центре окружности радиусом a , частью которой является дуга, равномерно заряженная с линейной плотностью λ . Центральный угол дуги $2\alpha_0$ (рис. 13).

Ответ:
$$\varphi = 2\lambda\alpha_0; \quad E = \frac{2\lambda}{a} \sin \alpha_0.$$

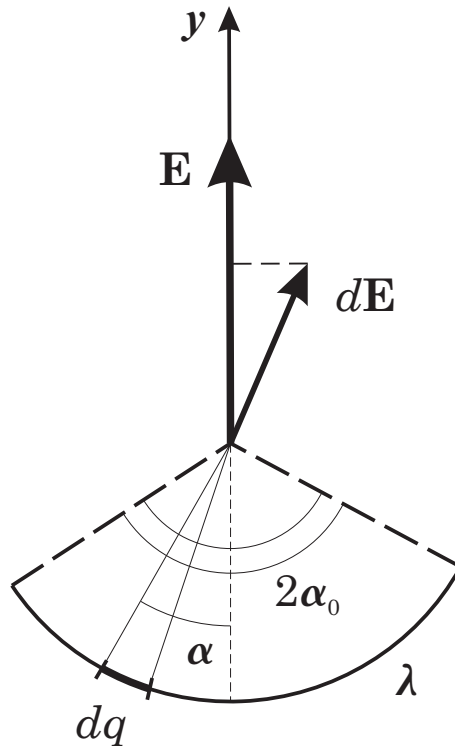


Рис. 13

2.13. Заряд равномерно распределен по отрезку с линейной плотностью λ . Вычислить напряженность поля в точке A , положение которой по отношению к отрезку задано расстоянием y до прямой и двумя углами α_1 и α_2 (рис. 14).

Указание: использовать переменную интегрирования $x = -y \operatorname{ctg} \alpha$.

Ответ:
$$E_x = \frac{\lambda}{y} (\sin \alpha_2 - \sin \alpha_1), \quad E_y = \frac{\lambda}{y} (\cos \alpha_1 - \cos \alpha_2).$$

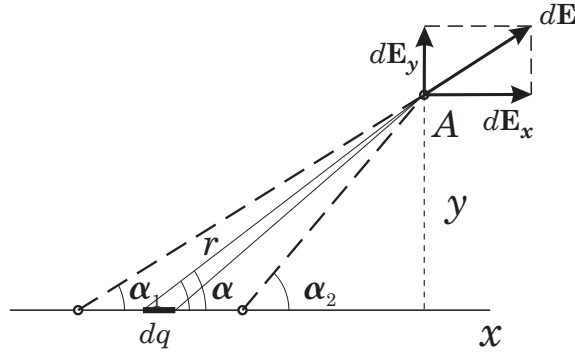


Рис. 14

2.14. Шар радиусом R заряжен с объемной плотностью $\rho = \rho_0 \cos \theta$. Найти скалярный потенциал в произвольной точке пространства.

$$\text{Ответ: } \varphi(\mathbf{r}) = \begin{cases} \pi \rho_0 r \left(\frac{4}{3} R - r \right) \cos \theta & \text{при } r \leq R, \\ \frac{\pi \rho_0 R^4 \cos \theta}{3 r^2} & \text{при } r > R. \end{cases}$$

2.15. Найти дипольный момент тонкого стержня длиной $2l$, линейная плотность заряда на котором изменяется по закону $\lambda = kx$ (k — константа, ось x направлена вдоль стержня).

$$\text{Ответ: } \mathbf{d} = \frac{2}{3} kl^3 \mathbf{i}.$$

2.16. Сфера радиусом R с центром в начале координат заряжена с поверхностной плотностью $\sigma = \varkappa z$, где \varkappa — константа, z — координата соответствующей точки сферы. Найти дипольный момент \mathbf{d} сферы.

$$\text{Ответ: } \mathbf{d} = \frac{4\pi}{3} \varkappa R^4 \mathbf{k}.$$

2.17. В бесконечной плоскости, заряженной с поверхностной плотностью σ , вырезано отверстие площадью S . Найти напряженность поля на больших расстояниях от отверстия, учитывая члены $\sim 1/r^2$ включительно.

2.18. Окружность состоит из двух полуокружностей, равномерно заряженных зарядами одинаковой величины и противоположного знака. Определить компоненты вектора дипольного момента и тензора квадрупольного момента.

2.19. Заряды q , $-2q$, q расположены на оси z в точках с координатами $-a$, 0 , a соответственно (линейный квадруполь). Найти потенциал φ на

большом расстоянии от системы.

$$\text{Ответ: } \quad \varphi \approx \frac{2qa^2}{r^3} P_2(\cos \theta); \quad P_2(x) = \frac{1}{2}(3x^2 - 1).$$

2.20. Вычислить собственную электрическую энергию U заряженного шара радиусом R , если заряд Q равномерно распределен по объему шара.

$$\text{Ответ: } \quad U = \frac{3Q^2}{5R}.$$

2.21. Диполь с моментом \mathbf{d}_1 расположен в начале координат, другой диполь с моментом \mathbf{d}_2 находится в точке с радиусом-вектором \mathbf{r} . Найти энергию взаимодействия диполей.

$$\text{Ответ: } \quad U = \frac{\mathbf{d}_1 \mathbf{d}_2}{r^3} - \frac{3(\mathbf{d}_1 \mathbf{r})(\mathbf{d}_2 \mathbf{r})}{r^5}.$$

2.22. Шар радиусом R однородно заряжен с объемной плотностью ρ . Используя максвелловский тензор натяжений, найти силу \mathbf{F} , разрывающую шар на две равные половины. Подтвердить полученный результат независимым вычислением с использованием формулы $\mathbf{F} = \int \rho \mathbf{E} dV$, где \mathbf{E} — напряженность электрического поля шара.

$$\text{Ответ: } \quad F = \frac{3Q^2}{16R^2}.$$

Рекомендуемая литература: [1, гл. I], [2, гл. II], [3, гл. 2], [4, гл. 3, 4].

3. Постоянное магнитное поле

Постоянное магнитное поле в вакууме создается постоянными токами. Распределение токов в пространстве характеризуется объемной плотностью $\mathbf{j}(\mathbf{r})$, а на поверхности — поверхностной плотностью $\mathbf{i}(\mathbf{r})$. Кроме того, в пространстве может быть задан линейный ток J , текущий по очень тонкому длинному проводнику.

Индукция постоянного магнитного поля \mathbf{B} удовлетворяет уравнениям Максвелла

$$\operatorname{div} \mathbf{B} = 0, \tag{3.1}$$

$$\operatorname{rot} \mathbf{B} = \frac{4\pi}{c} \mathbf{j}. \tag{3.2}$$

Интегральная форма второго из них

$$\oint_{\mathcal{L}} \mathbf{B} d\mathbf{l} = \frac{4\pi}{c} \int_S \mathbf{j} d\mathbf{S} \tag{3.3}$$

называется теоремой о циркуляции магнитной индукции или законом Ампера. Поверхностный интеграл в правой части

$$J = \int_S \mathbf{j} d\mathbf{S} \quad (3.4)$$

дает полный ток J через поверхность S , опирающуюся на контур \mathcal{L} . Теорема о циркуляции наиболее просто позволяет найти индукцию магнитного поля, когда распределение тока обладает аксиальной симметрией или симметрией относительно плоскости.

От двух уравнений первого порядка (3.1), (3.2) удобно перейти к одному уравнению второго порядка на векторный потенциал \mathbf{A} , который определяется соотношением

$$\mathbf{B} = \text{rot } \mathbf{A}. \quad (3.5)$$

Векторный потенциал определен неоднозначно, так как индукция \mathbf{B} не меняется, если перейти к другому векторному потенциалу при помощи преобразования

$$\mathbf{A}' = \mathbf{A} + \text{grad } \chi, \quad (3.6)$$

где $\chi = \chi(\mathbf{r})$ — произвольная функция. Пользуясь неоднозначностью в выборе векторного потенциала, на него накладывают дополнительное условие

$$\text{div } \mathbf{A} = 0. \quad (3.7)$$

В этом случае векторный потенциал магнитного поля удовлетворяет уравнению Пуассона

$$\Delta \mathbf{A} = -\frac{4\pi}{c} \mathbf{j}. \quad (3.8)$$

Согласно (3.8), (3.5) векторный потенциал и магнитная индукция поля объемных токов представляются объемными интегралами

$$\mathbf{A}(\mathbf{r}) = \frac{1}{c} \int \frac{\mathbf{j}(\mathbf{r}') dV'}{|\mathbf{r} - \mathbf{r}'|}, \quad (3.9)$$

$$\mathbf{B}(\mathbf{r}) = \frac{1}{c} \int \frac{[\mathbf{j}(\mathbf{r}'), \mathbf{r} - \mathbf{r}']}{|\mathbf{r} - \mathbf{r}'|^3} dV'. \quad (3.10)$$

Формулу (3.10) можно получить также из закона Био — Савара и принципа суперпозиции.

В случае линейного тока величины \mathbf{A} и \mathbf{B} получаются из выражений (3.9), (3.10) с помощью замены

$$\mathbf{j}(\mathbf{r}') dV' \rightarrow J d\mathbf{l}', \quad (3.11)$$

которая преобразует объемные интегралы (3.9), (3.10) в криволинейные. Аналогично для поверхностных токов в интегралах (3.9), (3.10) следует сделать замену

$$\mathbf{j}(\mathbf{r}')dV' \rightarrow \mathbf{i}(\mathbf{r}')dS'. \quad (3.12)$$

На больших расстояниях r от ограниченной области, в которой текут токи, векторный потенциал и индукция магнитного поля принимают вид

$$\mathbf{A}(\mathbf{r}) = \frac{[\mathbf{M}\mathbf{r}]}{r^3}, \quad (3.13)$$

$$\mathbf{B}(\mathbf{r}) = \frac{3(\mathbf{M}\mathbf{r})\mathbf{r}}{r^5} - \frac{\mathbf{M}}{r^3}, \quad (3.14)$$

где \mathbf{M} — магнитный момент системы. В случае объемных токов

$$\mathbf{M} = \frac{1}{2c} \int [\mathbf{r}\mathbf{j}(\mathbf{r})] dV. \quad (3.15)$$

В случае плоского контура магнитный момент определяется произведением тока J на площадь контура S (т.е. не зависит от формы контура) и направлен по нормали к плоскости контура \mathbf{n} :

$$\mathbf{M} = \frac{J}{c} S\mathbf{n}. \quad (3.16)$$

Энергию магнитного поля

$$U = \frac{1}{8\pi} \int \mathbf{B}^2 dV \quad (3.17)$$

можно также вычислить по формуле

$$U = \frac{1}{2c} \int \mathbf{j}\mathbf{A} dV. \quad (3.18)$$

Сила \mathbf{F} , приложенная к объемному току во внешнем магнитном поле с индукцией \mathbf{B} , имеет вид

$$\mathbf{F} = \frac{1}{c} \int [\mathbf{j}\mathbf{B}] dV, \quad (3.19)$$

а магнитная энергия взаимодействия указанного тока с внешним магнитным полем выражается через векторный потенциал \mathbf{A} этого поля

$$U = \frac{1}{c} \int \mathbf{j}\mathbf{A} dV. \quad (3.20)$$

Если индукция \mathbf{B} внешнего магнитного поля мало меняется на протяжении области пространства, где текут токи, то энергия взаимодействия (3.20) выражается через магнитный момент \mathbf{M} токов

$$U = \mathbf{M}\mathbf{B}. \quad (3.21)$$

Физическая величина \mathbf{MB} в магнитостатике не является потенциальной энергией. В связи с этим вводят в рассмотрение потенциальную функцию V , которая оказывается равной $-\mathbf{MB}$. Потенциальная функция позволяет представить силу, приложенную к магнитному моменту во внешнем магнитном поле в обычной форме $\mathbf{F} = -\text{grad } V$. Таким образом, в квазиоднородном внешнем поле \mathbf{B} на магнитный момент действует сила

$$\mathbf{F} = \nabla(\mathbf{MB}) \quad (3.22)$$

и момент сил

$$\mathbf{K} = [\mathbf{MB}]. \quad (3.23)$$

Суммарную объемную силу (3.19) можно заменить системой поверхностных сил, приложенных к поверхности объема V , внутри которого текут токи с объемной плотностью \mathbf{j} ,

$$F_\alpha = \frac{1}{c} \int_V [\mathbf{jB}]_\alpha dV = \oint_S T_{\alpha\beta} n_\beta dS, \quad (3.24)$$

где \mathbf{n} — орт внешней нормали замкнутой поверхности S , ограничивающей объем V , а $T_{\alpha\beta}$ — максвелловский тензор натяжений:

$$T_{\alpha\beta} = \frac{1}{4\pi} \left(B_\alpha B_\beta - \frac{1}{2} B^2 \delta_{\alpha\beta} \right). \quad (3.25)$$

Примеры решения задач

Пример 3.1. По бесконечному цилиндру радиусом R параллельно его оси течет однородный ток с объемной плотностью \mathbf{j} . Найти индукцию магнитного поля внутри и снаружи цилиндра (рис. 15).

Решение. Наиболее просто задача решается с помощью теоремы о циркуляции. Из симметрии системы следует, что вектор индукции \mathbf{B} в произвольной точке направлен по касательной к окружности с центром на оси цилиндра и плоскостью, ортогональной оси. Величина вектора \mathbf{B} зависит только от расстояния r до оси цилиндра. Выбирая окружность радиусом r в качестве контура для теоремы о циркуляции (3.3), при $r > R$ получим $B \cdot 2\pi r = \frac{4\pi}{c} j\pi R^2$. Аналогично при $r < R$ имеем $B \cdot 2\pi r = \frac{4\pi}{c} j\pi r^2$. Из этих равенств находим магнитную индукцию:

$$B = \begin{cases} \frac{2\pi jr}{c} & \text{при } r \leq R, \\ \frac{2\pi jR^2}{cr} & \text{при } r > R. \end{cases} \quad \blacktriangleleft$$

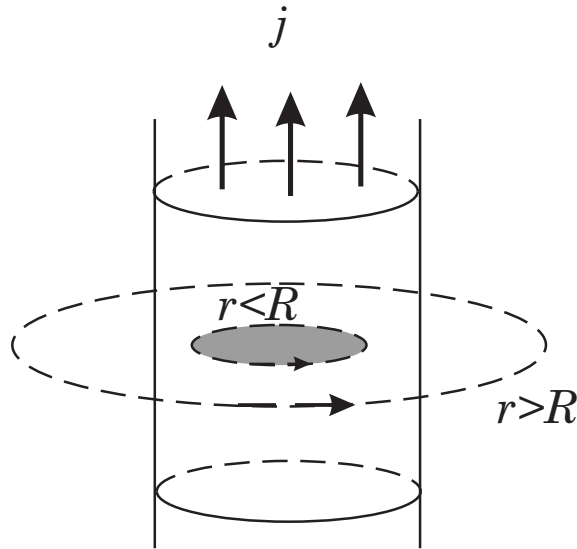


Рис. 15

Пример 3.2. По плоскости xy параллельно оси y течет однородный ток с постоянной плотностью i (рис. 16). Найти индукцию магнитного поля.

Решение. Магнитная индукция над плоскостью при $z > 0$ направлена

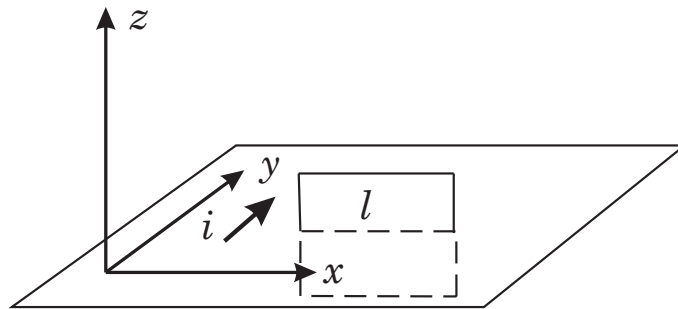


Рис. 16

вдоль оси x , а при $z < 0$ — противоположно x (в этом можно убедиться, рассмотрев вклад двух линий тока, расположенных симметрично по отношению к данной точке). Выберем прямоугольный контур, одна сторона которого проходит над плоскостью в направлении x , а другая — симметрично ей под плоскостью. Из теоремы о циркуляции получим: $2Bl = \frac{4\pi}{c}il$, т.е.

$$B = \frac{2\pi i}{c}. \quad \blacktriangleleft$$

Пример 3.3. Бесконечный цилиндр радиусом R , равномерно заряженный с объемной плотностью ρ , вращается вокруг своей оси с постоянной угловой скоростью ω . Найти векторный потенциал \mathbf{A} и индукцию \mathbf{B} магнитного поля внутри и снаружи цилиндра.

Решение. Будем искать магнитное поле, решая уравнение Пуассона (3.8). Вращающийся цилиндр создает в пространстве ток с объемной плотностью

$$j_r = j_z = 0, \quad j_\varphi = \begin{cases} \rho\omega r & \text{при } r \leq R, \\ 0 & \text{при } r > R. \end{cases}$$

Необходимо использовать лапласиан в цилиндрических координатах (П.13) и учесть, что из симметрии задачи следуют равенства $A_r = A_z = 0$ и $A_\varphi = A(r)$.

Функция

$$A(r) = \begin{cases} A_1(r) & \text{при } r \leq R, \\ A_2(r) & \text{при } r > R \end{cases}$$

внутри и снаружи цилиндра удовлетворяет уравнениям Эйлера

$$r^2 \frac{d^2 A_1}{dr^2} + r \frac{dA_1}{dr} - A_1 = -\frac{4\pi}{c} \rho\omega r^3, \quad (3.26)$$

$$r^2 \frac{d^2 A_2}{dr^2} + r \frac{dA_2}{dr} - A_2 = 0 \quad (3.27)$$

и граничным условиям

$$A_1(R) = A_2(R), \quad \frac{dA_1(R)}{dr} = \frac{dA_2(R)}{dr}. \quad (3.28)$$

Векторный потенциал непрерывен в каждой точке пространства, а вдали от цилиндра не возрастает. Действительно, вращающийся цилиндр можно рассматривать как совокупность кольцевых токов. Следовательно, векторный потенциал отдельного участка цилиндра убывает на бесконечности как $1/r^2$. Полный векторный потенциал равен сумме (точнее интегралу) вкладов от всех участков цилиндра, поэтому закон его убывания $A_2 \sim 1/r$.

Частное решение уравнения (3.26), очевидно, $A_{1,\text{чр}} = -\frac{\pi}{2c} \rho\omega r^3$. Общее решение однородных уравнений (3.26) и (3.27) ищется в виде cr^s , где константы c и s подлежат определению. Подставляя cr^s в уравнение (3.26) и сокращая на общий множитель, получаем квадратное уравнение

$$s^2 - 1 = 0$$

с корнями $s_1 = 1$ и $s_2 = -1$. Значит, общие решения уравнений (3.26) и (3.27) имеют вид

$$A_1 = C_1 r + \frac{C_2}{r} - \frac{\pi}{2c} \rho\omega r^3, \quad A_2 = C_3 r + \frac{C_4}{r}.$$

Из непрерывности потенциала при $r = 0$ и из обращения его в нуль при $r \rightarrow \infty$ следует, что $C_2 = C_3 = 0$. Две другие постоянные определяются из условий сшивки (3.28) при $r = R$. Опуская вычисления, приведем окончательный результат:

при $r \leq R$

$$A_{1r} = A_{1z} = 0, \quad A_{1\varphi} = \frac{\pi}{c} \rho \omega r (R^2 - \frac{r^2}{2}), \quad \mathbf{B}_1 = \frac{2\pi}{c} \rho (R^2 - r^2) \boldsymbol{\omega};$$

при $r > R$

$$A_{2r} = A_{2z} = 0, \quad A_{2\varphi} = \frac{\pi \rho \omega R^4}{2cr}, \quad \mathbf{B}_2 = 0. \quad \blacktriangleleft$$

Пример 3.4. Заряд Q однородно заполняет объем шара радиусом R . Найти магнитную индукцию \mathbf{B} в центре шара, если последний вращается вокруг своего диаметра с постоянной угловой скоростью $\boldsymbol{\omega}$.

Решение. Поместим начало координат в центр шара и направим ось z вдоль вектора $\boldsymbol{\omega}$. Согласно (3.10) магнитная индукция в центре шара дается выражением

$$\mathbf{B}(0) = \frac{1}{c} \int \frac{[\mathbf{r} \mathbf{j}(\mathbf{r})]}{r^3} dV,$$

где штрих у переменной интегрирования опущен. В результате вращения внутри шара имеется ток с объемной плотностью $\mathbf{j}(\mathbf{r}) = \rho \mathbf{v} = \rho[\boldsymbol{\omega} \mathbf{r}]$, где $\rho = \frac{3Q}{4\pi R^3}$. Раскрывая двойное векторное произведение, получаем

$$\mathbf{B}(0) = \frac{1}{c} \int \rho \frac{r^2 \boldsymbol{\omega} - (\boldsymbol{\omega} \mathbf{r}) \mathbf{r}}{r^3} dV.$$

Вектор $\mathbf{B}(0)$ не имеет проекций на оси x и y (проверьте!) и может быть представлен как

$$\mathbf{B}(0) = \frac{\boldsymbol{\omega}}{c} \int \frac{\rho(1 - \cos^2 \theta)}{r} dV.$$

Полученная формула справедлива для любого тела вращения, внутри которого распределен заряд с объемной плотностью $\rho = \rho(r, \theta)$. Вычисляя объемный интеграл в сферических координатах для равномерно заряженного шара

$$\mathbf{B}(0) = \rho \frac{\boldsymbol{\omega}}{c} \int_0^R r dr \int_0^\pi (1 - \cos^2 \theta) \sin \theta d\theta \int_0^{2\pi} d\varphi,$$

находим

$$\mathbf{B}(0) = \frac{Q\boldsymbol{\omega}}{cR}. \quad \blacktriangleleft$$

Пример 3.5. В сферических координатах компоненты вектора \mathbf{j} средней объемной плотности орбитального тока, текущего в возбужденном атоме водорода, имеют величину

$$j_r = j_\theta = 0, \quad j_\varphi = \frac{1}{2 \cdot 3^8} \frac{e\hbar}{\pi m a^7} r^3 e^{-\frac{2r}{3a}} \sin^3 \theta,$$

где a — боровский радиус, \hbar — постоянная Планка, m и e — масса и заряд электрона, а r — расстояние до протона. Орбитальный ток создает в пространстве магнитное поле. Найти индукцию этого поля в начале координат.

Решение. По закону Био — Савара магнитная индукция в начале координат дается выражением

$$\mathbf{B}(0) = \frac{1}{c} \int \frac{[\mathbf{r} \mathbf{j}(\mathbf{r})]}{r^3} dV.$$

Из соображений симметрии ясно, что в начале координат вектор \mathbf{B} имеет только z -компоненту. Объемный интеграл в предыдущей формуле удобно вычислять в сферических координатах. Выражая через них $[\mathbf{r} \mathbf{j}]_z = xj_y - yj_x$, с учетом соотношений

$$\begin{aligned} x &= r \sin \theta \cos \varphi, & y &= r \sin \theta \sin \varphi, \\ j_x &= -j_\varphi \sin \varphi, & j_y &= j_\varphi \cos \varphi, \end{aligned}$$

получаем

$$B_z(0) = \frac{1}{c} \frac{1}{2 \cdot 3^8} \frac{e\hbar}{\pi m a^7} \int_0^\infty r^3 e^{-\frac{2r}{3a}} dr \int_0^\pi \sin^5 \theta d\theta \int_0^{2\pi} d\varphi.$$

Поскольку

$$\int_0^\infty r^3 e^{-\alpha r} dr = (-1)^3 \frac{\partial^3}{\partial \alpha^3} \int_0^\infty e^{-\alpha r} dr = \frac{3!}{\alpha^4}$$

и

$$\int_0^\pi \sin^5 \theta d\theta = - \int_0^\pi (1 - \cos^2 \theta)^2 d(\cos \theta) = \frac{16}{15},$$

то окончательно находим

$$B_z(0) = \frac{2e\hbar}{405 m c a^3}.$$

Проверьте непосредственным расчетом, что $B_x(0) = B_y(0) = 0$. ◀

Пример 3.6. Ток J течет по тонкому проводнику, образующему квадрат со стороной $2a$. Найти магнитную индукцию \mathbf{B} на оси, проходящей через центр квадрата перпендикулярно его плоскости. Исследуя \mathbf{B} на больших расстояниях, найти магнитный момент \mathbf{M} .

Решение. Расположим квадрат в плоскости xy так, чтобы его стороны были параллельны осям, а ось z проходила через центр квадрата и образовывала с направлением тока правовинтовую систему. Очевидно, что на оси квадрата вектор индукции имеет только компоненту B_z , причем ток в каждой стороне дает в нее одинаковый вклад. Поэтому требуется вычислить

$$\begin{aligned} B_z(z) &= \frac{J}{c} \oint \frac{[d\mathbf{l}, \mathbf{r} - \mathbf{r}']_z}{|\mathbf{r} - \mathbf{r}'|^3} = \frac{4J}{c} \int_{-a}^a \frac{ady'}{(y'^2 + a^2 + z^2)^{3/2}} = \\ &= \frac{8J}{c} \int_0^a \frac{ady'}{(y'^2 + a^2 + z^2)^{3/2}} \end{aligned}$$

(интегрируем по стороне, параллельной оси y). Возникший интеграл

$$\int \frac{dx}{(x^2 + b^2)^{3/2}} = \frac{1}{b^2} \frac{x}{(x^2 + b^2)^{1/2}} + C$$

можно взять подстановкой $x = b/t$ (проделайте вычисления!). Окончательно

$$\mathbf{B} = \frac{8a^2 J}{c(z^2 + a^2)\sqrt{z^2 + 2a^2}} \mathbf{k}.$$

На больших расстояниях от контура, $|z| \gg a$, выражение для индукции упрощается:

$$\mathbf{B} = \frac{8a^2 J}{c|z|^3} \mathbf{k}.$$

Сравнивая эту формулу с общим выражением (3.14) для индукции на большом расстоянии от системы токов, которое в нашем случае (когда магнитный момент \mathbf{M} и радиус-вектор \mathbf{r} , проведенный в точку наблюдения, лежат на одной прямой, а $r = |z|$) принимает вид

$$\mathbf{B} = \frac{2\mathbf{M}}{|z|^3},$$

видим, что $M = \frac{4a^2 J}{c}$ в соответствии с (3.16). ◀

Пример 3.7. Коническая поверхность $x^2 + y^2 = z^2$, $0 \leq z \leq h$, равномерно заряженная с поверхностной плотностью σ , вращается вокруг своей оси с угловой скоростью ω . Найти индукцию магнитного поля в вершине конической поверхности.

Решение. Из формул (3.10), (3.12) получаем исходное выражение для магнитной индукции в вершине:

$$\mathbf{B}(0) = \frac{1}{c} \int \frac{[\mathbf{r}\mathbf{i}]}{r^3} dS,$$

где интегрирование проводится по поверхности конуса. Выразив плотность поверхностного тока через плотность заряда и угловую скорость $\mathbf{i} = \sigma[\omega\mathbf{r}]$ и раскрывая двойное векторное произведение, получим

$$\mathbf{B}(0) = \frac{\sigma}{c} \int \frac{\omega r^2 - \mathbf{r}(\omega\mathbf{r})}{r^3} dS.$$

Проведем интегрирование в ц.с.к. ρ, φ, z . Элемент площади на поверхности конуса с углом α между осью и образующей записывается как $dS = \rho d\rho d\varphi / \sin \alpha$ (в чем можно убедиться, спроектировав dS на плоскость xy). В нашем случае $\alpha = \pi/4$, поэтому $z = \rho = r/\sqrt{2}$. Проводя вычисления, находим

$$\mathbf{B}(0) = \frac{\pi}{c} h \sigma \omega. \quad \blacktriangleleft$$

Пример 3.8. По тонкому кольцу радиусом R течет ток J . Найти магнитную индукцию \mathbf{B} на оси кольца (рис. 17).

Решение. Вектор \mathbf{B} направлен вдоль оси z . Вклад в \mathbf{B} тока в элементе дуги с угловым размером $d\varphi$

$$dB_z = dB \sin \alpha = \frac{J}{c} \frac{R d\varphi}{R^2 + z^2} \frac{R}{\sqrt{R^2 + z^2}}.$$

После интегрирования по φ получим

$$\mathbf{B} = \frac{2\pi J R^2}{c(R^2 + z^2)^{3/2}} \mathbf{n},$$

где \mathbf{n} — вектор нормали к плоскости кольца, образующий с направлением тока J правовинтовую систему. На большом расстоянии от контура ($|z| \gg R$) магнитная индукция

$$\mathbf{B} \approx \frac{2J(\pi R^2)}{c|z|^3} \mathbf{n}$$

выражается через магнитный момент $\mathbf{M} = \frac{J}{c} S \mathbf{n}$. \blacktriangleleft

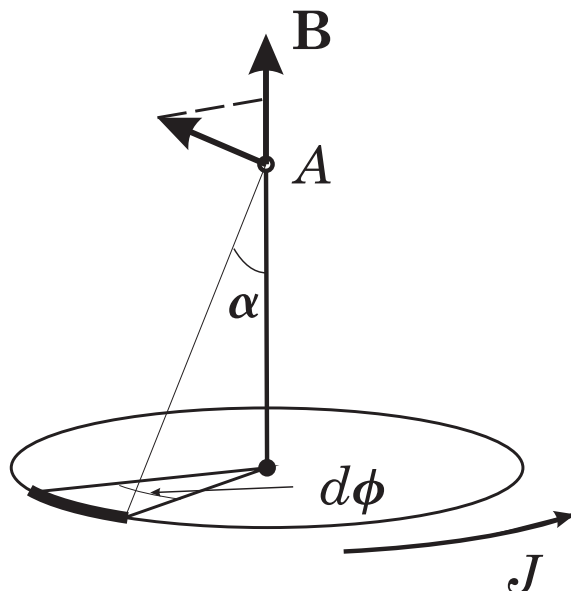


Рис. 17

Пример 3.9. Найти магнитную индукцию, создаваемую прямым отрезком провода в точке A , положение которой относительно отрезка задается расстоянием y до прямой и углами α_1 и α_2 . (рис. 18)

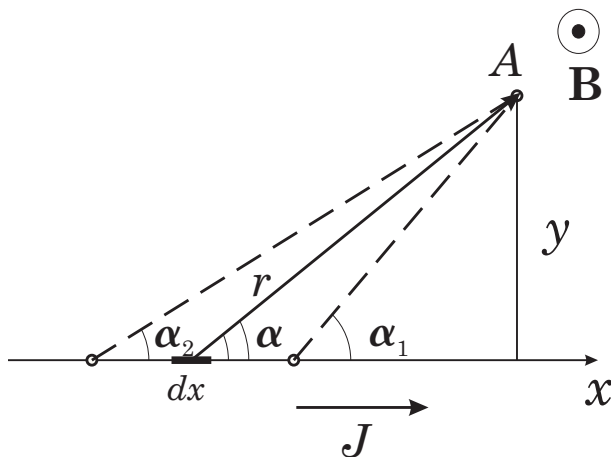


Рис. 18

Решение. Ток в элементе dx создает поле $dB = \frac{Jdx}{cr^2} \sin \alpha$, направленное перпендикулярно плоскости, проходящей через отрезок и точку A . Интегрировать удобно по углу α , учитывая равенство $r = y / \sin \alpha$ и заменяя переменную:

$$x = -y \operatorname{ctg} \alpha, \quad dx = \frac{y}{\sin^2 \alpha} d\alpha.$$

В результате получаем

$$B = \frac{J}{cy}(\cos \alpha_1 - \cos \alpha_2).$$

Полагая $\alpha_1 = 0$, $\alpha_2 = \pi$, находим магнитную индукцию бесконечного провода с током

$$B = \frac{2J}{cy}. \quad \blacktriangleleft$$

Пример 3.10. В сферических координатах компоненты вектора \mathbf{j} средней объемной плотности орбитального тока, текущего в возбужденном атоме водорода, составляют

$$j_r = j_\theta = 0, \quad j_\varphi = \frac{1}{3^8} \frac{e\hbar}{\pi m a^7} r^3 e^{-\frac{2r}{3a}} \sin \theta \cos^2 \theta,$$

где a — боровский радиус, \hbar — постоянная Планка, m и e — масса и заряд электрона, а r — расстояние до протона. Вычислить магнитный момент \mathbf{M} орбитального тока.

Решение. Исходим из определения магнитного момента (3.15) и вычисляем объемный интеграл от векторной функции в выбранной системе координат по компонентам (аналогично задаче 3.5 данного раздела). Очевидно, $M_x = M_y = 0$, а для M_z получаем промежуточное выражение

$$M_z = \frac{1}{2c} \frac{1}{3^8} \frac{e\hbar}{\pi m a^7} \int_0^\infty r^6 e^{-\frac{2r}{3a}} dr \int_0^\pi \sin^3 \theta \cos^2 \theta d\theta \int_0^{2\pi} d\varphi.$$

Вычисляя

$$\int_0^\infty r^6 e^{-\frac{2r}{3a}} dr = \frac{6!}{(2/3a)^7}, \quad \int_0^\pi \sin^3 \theta \cos^2 \theta d\theta = \frac{4}{15},$$

находим магнитный момент орбитального тока

$$M_x = M_y = 0, \quad M_z = \frac{e\hbar}{2mc}. \quad \blacktriangleleft$$

Пример 3.11. Внутренний магнитный момент электрона по абсолютной величине равен магнетону Бора $\mu_0 = \frac{|e|\hbar}{2mc}$. Согласно классической модели электрон представляет собой однородно заряженный шар радиусом

$r_0 = \frac{e^2}{mc}$. Рассматривая внутренний магнитный момент как результат вращения электрона вокруг своей оси симметрии, определить угловую скорость ω этого вращения.

Решение. Вычислим магнитный момент равномерно заряженного шара, вращающегося вокруг своей оси с угловой скоростью ω :

$$\mathbf{M} = \frac{1}{2c} \int [\mathbf{r}\mathbf{j}]dV = \{\mathbf{j} = \rho[\boldsymbol{\omega}\mathbf{r}]\} = \frac{\rho\boldsymbol{\omega}}{2c} \int r^2(1 - \cos^2 \theta)dV = \frac{er_0^2}{5c}\boldsymbol{\omega}. \quad (3.29)$$

Приравнявая вычисленное и экспериментальное значения абсолютной величины магнитного момента

$$\frac{|e|r_0^2\omega}{5c} = \frac{|e|\hbar}{2mc},$$

находим угловую скорость, с которой должен вращаться электрон:

$$\omega = \frac{5\hbar}{2mr_0^2}.$$

Подставляя численные значения фундаментальных констант, находим $\omega \approx 10^{25} \text{ с}^{-1}$. Так как классический радиус электрона $r_0 = e^2/mc^2 \approx 10^{-13} \text{ см}$, то линейная скорость «точек электрона», лежащих на экваторе, имеет величину $v = \omega r_0 \approx 10^{12} \text{ см/с}$, т.е. на два порядка превосходит скорость света. Таким образом, рассмотренная модель спинового магнитного момента противоречит второму постулату специальной теории относительности. ◀

Пример 3.12. Ток J однородно распределен по сечению бесконечного цилиндра радиусом R . Используя максвелловский тензор натяжений, найти силу \mathbf{F} , прижимающую друг к другу две одинаковые половины цилиндра. Здесь \mathbf{F} — сила, приложенная к единице длины одной из половин цилиндра. Подтвердить полученный результат независимым вычислением с использованием объемной силы.

Решение. Направим ось z по оси цилиндра, а ось y — перпендикулярно плоскости раздела половин цилиндра. Сила, приложенная к половине цилиндра, выражается через тензор натяжений $T_{\alpha\beta}$ следующим образом [см. (3.24)]:

$$F_y = \oint (T_{yx}n_x + T_{yy}n_y + T_{yz}n_z)dS,$$

где интегрирование ведется по поверхности полуцилиндра единичной высоты, $\mathbf{n} = (n_x, n_y, n_z)$ — вектор внешней нормали к ней. Другие компоненты силы равны нулю: $F_x = F_z = 0$. Запишем компоненты вектора индукции

$$B_x = -B \sin \varphi, \quad B_y = B \cos \varphi, \quad B_z = 0,$$

через которые согласно (3.25) выражаются компоненты тензора натяжения $T_{\alpha\beta}$. Вычислим сначала интеграл по боковой поверхности цилиндра. Поскольку на ней $n_x = \cos \varphi$, $n_y = \sin \varphi$, элемент площади $dS = R d\varphi dz$, а величина индукции имеет постоянное значение $B = 2J/cR$, то имеем

$$\begin{aligned} F_y^{(1)} &= \frac{1}{4\pi} R \int_{-1/2}^{1/2} dz \int_0^\pi \left[-B^2 \sin \varphi \cos^2 \varphi + (B^2 \cos^2 \varphi - \frac{1}{2} B^2) \sin \varphi \right] d\varphi = \\ &= -\frac{J^2}{\pi c^2 R} \end{aligned}$$

(напомним, что рассчитывается сила, приходящаяся на единицу длины цилиндра). На поверхности раздела полуцилиндров, лежащей в плоскости xz ,

$$n_x = n_z = 0, \quad n_y = -1, \quad B = \frac{2J}{cR^2} |x|,$$

поэтому

$$F_y^{(2)} = - \int T_{yy} dS = -\frac{1}{8\pi} \int_{-1/2}^{1/2} dz \int_{-R}^R B^2 dx = -\frac{J^2}{3\pi c^2 R}.$$

Складывая $F_y^{(1)}$ и $F_y^{(2)}$, находим, что результирующая сила по абсолютной величине

$$F = \frac{4J^2}{3\pi c^2 R}.$$

Другой способ решения задачи основан на вычислении суммарной объемной силы по формуле (3.19):

$$\begin{aligned} F_y &= \frac{1}{c} \int [\mathbf{j}\mathbf{B}]_y dV = \frac{1}{c} \int j B_x dV = \left\{ \begin{array}{l} j = \frac{J}{\pi R^2}, \quad dV = \rho d\rho d\varphi dz, \\ B_x = -\frac{2J}{cR^2} \rho \sin \varphi \end{array} \right\} = \\ &= -\frac{2J^2}{\pi c^2 R^4} \int_0^R \rho^2 d\rho \int_0^\pi \sin \varphi d\varphi \int_{-1/2}^{1/2} dz = -\frac{4J^2}{3\pi c^2 R}. \quad \blacktriangleleft \end{aligned}$$

Задачи для самостоятельного решения

3.1. Можно ли создать в пространстве постоянный ток с объемной плотностью $\mathbf{j} = \mathbf{j}_0 e^{-\alpha r}$, где α — постоянная величина, \mathbf{j}_0 — постоянный вектор?

3.2. Найти распределение объемной плотности тока в пространстве, если магнитная индукция имеет вид: а) $\mathbf{B} = f(r)[\mathbf{ar}]$, б) $\mathbf{B} = (\mathbf{ar})[\mathbf{ar}]$, где $f(r)$ — произвольная дифференцируемая функция, \mathbf{a} — постоянный вектор.

Ответ: а) $\mathbf{j} = \frac{c}{2\pi} \left[f(r)\mathbf{a} + \frac{df(r)}{dr} \frac{[\mathbf{r}[\mathbf{ar}]]}{2r} \right]$, б) $\mathbf{j} = \frac{c}{4\pi} [3(\mathbf{ar})\mathbf{a} - a^2\mathbf{r}]$.

3.3. Показать, что однородному и постоянному магнитному полю \mathbf{B} можно сопоставить векторный потенциал $\mathbf{A} = \frac{1}{2}[\mathbf{B}\mathbf{r}]$. Удовлетворяет ли он условию $\text{div } \mathbf{A} = 0$?

3.4. Найти силу J бесконечного прямого тока, при которой на расстоянии r от провода создается индукция B .

3.5. По бесконечной цилиндрической поверхности радиусом R параллельно ее оси течет однородный ток с поверхностной плотностью \mathbf{i}_0 . Найти индукцию магнитного поля в любой точке пространства.

3.6. Квадратная рамка со стороной a находится в одной плоскости с прямолинейным током J . На каком расстоянии от тока расположена ближайшая сторона рамки, если поток магнитного поля через поверхность рамки равен Φ_0 ?

Ответ: $l = \frac{a}{\exp\left(\frac{c\Phi_0}{2aJ}\right) - 1}$.

3.7. Показать, что магнитное поле бесконечно длинного цилиндрического соленоида с густой намоткой (n витков на единицу длины, ток J) дается формулами

$$\mathbf{B} = \frac{4\pi}{c} n J \mathbf{k} \quad \text{внутри соленоида}, \quad \mathbf{B} = 0 \quad \text{снаружи},$$

где ось z направлена вдоль соленоида (рис. 19).

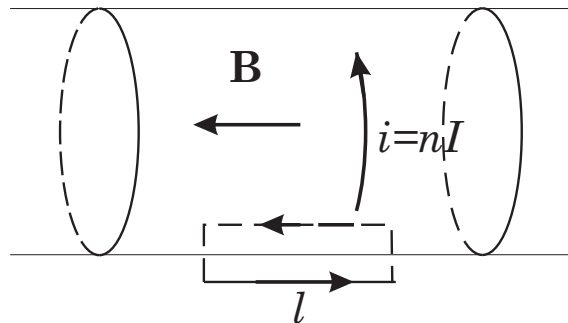


Рис. 19

3.8. Внутри однородного длинного прямого провода круглого сечения имеется круглая цилиндрическая полость, ось которой параллельна оси

провода и смещена относительно последней на расстояние a . По проводу течет постоянный ток плотностью \mathbf{j} . Найти магнитную индукцию внутри полости.

Ответ: $\mathbf{B} = \frac{2\pi}{c}[\mathbf{j}\mathbf{a}]$, вектор \mathbf{a} проведен от оси наружного цилиндра к оси внутреннего.

3.9. Ток J течет по длинному прямому проводнику в форме полуцилиндрической поверхности радиусом R . Найти магнитную индукцию на оси данной поверхности.

Ответ: $B = \frac{4J}{\pi c R}$, вектор \mathbf{B} перпендикулярен плоскости симметрии полуцилиндра.

3.10. Тонкий диск радиусом R , равномерно заряженный с поверхностной плотностью σ , вращается вокруг своей оси с угловой скоростью ω . Найти индукцию магнитного поля на оси диска.

Ответ: $\mathbf{B} = 2\pi\sigma|z| \left[\left(1 + \frac{R^2}{z^2}\right)^{1/2} + \left(1 + \frac{R^2}{z^2}\right)^{-1/2} - 2 \right] \frac{\omega}{c}$.

3.11. Ток J течет по тонкой бесконечной прямой токовой трубке, которая имеет локальное искривление в виде полуокружности радиусом R . Найти магнитную индукцию в центре кривизны указанной полуокружности.

Ответ: $\mathbf{B} = \frac{\pi J}{cR} \mathbf{n}$, где орт \mathbf{n} нормали к плоскости полуокружности образует правовинтовую систему с направлением тока, текущего по дуге.

3.12. Ток J течет по тонкой токовой трубке в форме равностороннего треугольника со стороной a . Найти векторный потенциал и магнитную индукцию на больших расстояниях r от тока.

3.13. Однородно заряженный цилиндр произвольной высоты и радиусом R вращается вокруг своей оси симметрии с угловой скоростью ω . Полный заряд цилиндра равен Q , а его ось вращения образует с индукцией \mathbf{B} внешнего однородного магнитного поля некоторый угол α . Определить энергию U взаимодействия цилиндра с магнитным полем.

Ответ: $U = \frac{QR^2}{4c}(\omega\mathbf{B})$.

3.14. Заряд Q равномерно распределен по конической поверхности $(x^2 + y^2 = z^2, 0 \leq z \leq h)$, которая вращается вокруг своей оси с угловой

скоростью $\boldsymbol{\omega}$. Найти векторный потенциал \mathbf{A} и индукцию \mathbf{B} магнитного поля на больших расстояниях от поверхности.

$$\text{Ответ: } \mathbf{A} = \frac{Qh^2}{4cr^3}[\boldsymbol{\omega}\mathbf{r}], \quad \mathbf{B} = \frac{Qh^2}{4cr^3}(3(\boldsymbol{\omega}\mathbf{r})\mathbf{r} - r^2\boldsymbol{\omega}).$$

3.15. Две одинаковые равномерно заряженные сферические поверхности радиусами R расположены на большом расстоянии друг от друга. Полный заряд каждой сферической поверхности равен Q , а их угловые скорости вращения вокруг собственных осей равны $\boldsymbol{\omega}_1$ и $\boldsymbol{\omega}_2$. Определить магнитную энергию U взаимодействия сферических поверхностей.

$$\text{Ответ: } U = \left(\frac{QR^2}{3c}\right)^2 \left(\frac{3(\boldsymbol{\omega}_1\mathbf{r})(\boldsymbol{\omega}_2\mathbf{r})}{r^5} - \frac{\boldsymbol{\omega}_1\boldsymbol{\omega}_2}{r^3}\right).$$

3.16. Определить энергию U магнитного поля, приходящегося на единицу длины однородного заряженного цилиндра радиусом R , вращающегося вокруг своей оси с постоянной угловой скоростью $\boldsymbol{\omega}$. Заряд на единицу длины цилиндра равен q . Выразить энергию U через магнитный момент \mathbf{M} единицы длины вращающегося цилиндра.

Указание: использовать результаты примера 3.3.

$$\text{Ответ: } U = \frac{8\mathbf{M}^2}{3R^2}, \quad \mathbf{M} = \frac{\pi q R^4}{c}\boldsymbol{\omega}.$$

Рекомендуемая литература: [1, гл. II], [2, гл. V], [3, гл. 3], [4, гл. 5, 6].

Приложения

1. Основные дифференциальные операции в сферических и цилиндрических координатах

В сферических координатах:

$$x = r \sin \theta \cos \varphi, \quad y = r \sin \theta \sin \varphi, \quad z = r \cos \theta,$$

$$\text{grad } f = \frac{\partial f}{\partial r} \mathbf{e}_r + \frac{1}{r} \frac{\partial f}{\partial \theta} \mathbf{e}_\theta + \frac{1}{r \sin \theta} \frac{\partial f}{\partial \varphi} \mathbf{e}_\varphi, \quad (\text{П.1})$$

$$\text{div } \mathbf{a} = \frac{1}{r^2} \frac{\partial(r^2 a_r)}{\partial r} + \frac{1}{r \sin \theta} \frac{\partial(\sin \theta a_\theta)}{\partial \theta} + \frac{1}{r \sin \theta} \frac{\partial a_\varphi}{\partial \varphi}, \quad (\text{П.2})$$

$$\begin{aligned} \text{rot } \mathbf{a} = \frac{1}{r \sin \theta} \left(\frac{\partial(\sin \theta a_\varphi)}{\partial \theta} - \frac{\partial a_\theta}{\partial \varphi} \right) \mathbf{e}_r + \left(\frac{1}{r \sin \theta} \frac{\partial a_r}{\partial \varphi} - \frac{1}{r} \frac{\partial(r a_\varphi)}{\partial r} \right) \mathbf{e}_\theta + \\ + \left(\frac{1}{r} \frac{\partial(r a_\theta)}{\partial r} - \frac{1}{r} \frac{\partial a_r}{\partial \theta} \right) \mathbf{e}_\varphi, \end{aligned} \quad (\text{П.3})$$

$$\Delta f = \frac{1}{r^2} \frac{\partial}{\partial r} \left(r^2 \frac{\partial f}{\partial r} \right) + \frac{1}{r^2 \sin \theta} \frac{\partial}{\partial \theta} \left(\sin \theta \frac{\partial f}{\partial \theta} \right) + \frac{1}{r^2 \sin^2 \theta} \frac{\partial^2 f}{\partial \varphi^2}, \quad (\text{П.4})$$

$$\Delta F(r) = \frac{1}{r^2} \frac{d}{dr} \left(r^2 \frac{dF}{dr} \right) = \frac{1}{r} \frac{d^2}{dr^2} (rF) = \frac{d^2 F}{dr^2} + \frac{2}{r} \frac{dF}{dr}, \quad (\text{П.5})$$

$$\Delta \mathbf{A} = \text{grad div } \mathbf{A} - \text{rot rot } \mathbf{A} =$$

$$\begin{aligned} = \left\{ \Delta A_r - \frac{2}{r^2} \left[A_r + \frac{1}{\sin \theta} \frac{\partial}{\partial \theta} (\sin \theta A_\theta) + \frac{1}{\sin \theta} \frac{\partial A_\varphi}{\partial \varphi} \right] \right\} \mathbf{e}_r + \\ + \left[\Delta A_\theta + \frac{2}{r^2} \left(\frac{\partial A_r}{\partial \theta} - \frac{A_\theta}{2 \sin^2 \theta} - \frac{\cos \theta}{\sin^2 \theta} \frac{\partial A_\varphi}{\partial \varphi} \right) \right] \mathbf{e}_\theta + \\ + \left[\Delta A_\varphi + \frac{2}{r^2 \sin \theta} \left(\frac{\partial A_r}{\partial \varphi} + \text{ctg } \theta \frac{\partial A_\theta}{\partial \varphi} - \frac{A_\varphi}{2 \sin \theta} \right) \right] \mathbf{e}_\varphi. \end{aligned} \quad (\text{П.6})$$

В цилиндрических координатах:

$$x = \rho \cos \varphi, \quad y = \rho \sin \varphi, \quad z = z, \quad (\text{П.7})$$

$$\text{grad } f = \frac{\partial f}{\partial \rho} \mathbf{e}_\rho + \frac{1}{\rho} \frac{\partial f}{\partial \varphi} \mathbf{e}_\varphi + \frac{\partial f}{\partial z} \mathbf{e}_z, \quad (\text{П.8})$$

$$\operatorname{div} \mathbf{a} = \frac{1}{\rho} \frac{\partial(\rho a_\rho)}{\partial \rho} + \frac{1}{\rho} \frac{\partial a_\varphi}{\partial \varphi} + \frac{\partial a_z}{\partial z}, \quad (\text{П.9})$$

$$\begin{aligned} \operatorname{rot} \mathbf{a} = & \left(\frac{1}{\rho} \frac{\partial a_z}{\partial \varphi} - \frac{\partial a_\varphi}{\partial z} \right) \mathbf{e}_\rho + \left(\frac{\partial a_r}{\partial z} - \frac{\partial a_z}{\partial r} \right) \mathbf{e}_\varphi + \\ & + \left(\frac{1}{\rho} \frac{\partial(\rho a_\varphi)}{\partial \rho} - \frac{1}{\rho} \frac{\partial a_\rho}{\partial \varphi} \right) \mathbf{e}_z, \end{aligned} \quad (\text{П.10})$$

$$\Delta f = \frac{1}{\rho} \frac{\partial}{\partial \rho} \left(\rho \frac{\partial f}{\partial \rho} \right) + \frac{1}{\rho^2} \frac{\partial^2 f}{\partial \varphi^2} + \frac{\partial^2 f}{\partial z^2}. \quad (\text{П.11})$$

$$\Delta F(\rho) = \frac{1}{\rho} \frac{d}{d\rho} \left(\rho \frac{dF}{d\rho} \right) = \frac{d^2 F}{d\rho^2} + \frac{1}{\rho} \frac{dF}{d\rho}, \quad (\text{П.12})$$

$$\begin{aligned} \Delta \mathbf{A} = \operatorname{grad} \operatorname{div} \mathbf{A} - \operatorname{rot} \operatorname{rot} \mathbf{A} = \\ = \left(\Delta A_\rho - \frac{A_\rho}{\rho^2} - \frac{2}{\rho^2} \frac{\partial A_\varphi}{\partial \varphi} \right) \mathbf{e}_\rho + \\ + \left(\Delta A_\varphi - \frac{A_\varphi}{\rho^2} + \frac{2}{\rho^2} \frac{\partial A_\rho}{\partial \varphi} \right) \mathbf{e}_\varphi + \Delta A_z \mathbf{e}_z \end{aligned} \quad (\text{П.13})$$

2. Сферические функции

Сферические функции $Y_{lm}(\theta, \varphi)$ определяются формулой

$$Y_{lm}(\theta, \varphi) = \sqrt{\frac{2l+1}{4\pi} \frac{(l-|m|)!}{(l+|m|)!}} P_l^{|m|}(\cos \theta) e^{im\varphi}, \quad (\text{П.14})$$

где $-l \leq m \leq l$ и $l = 0, 1, \dots$, а $P_l^m(\cos \theta)$ — присоединенные полиномы Лежандра:

$$P_l^m(\cos \theta) = \sin^m \theta \frac{d^m P_l(\cos \theta)}{(d \cos \theta)^m}. \quad (\text{П.15})$$

При комплексном сопряжении

$$Y_{lm}^*(\theta, \varphi) = Y_{lm}(\theta, -\varphi) = (-1)^m Y_{l-m}(\theta, \varphi). \quad (\text{П.16})$$

Функции $Y_{lm}(\theta, \varphi)$ с индексами $l = 0, 1, 2$, часто встречающиеся в приложениях, даются формулами

$$\begin{aligned}
Y_{00}(\theta, \varphi) &= \frac{1}{\sqrt{4\pi}}, \\
Y_{10}(\theta, \varphi) &= \sqrt{\frac{3}{4\pi}} \cos \theta, \\
Y_{1\pm 1}(\theta, \varphi) &= \mp \sqrt{\frac{3}{8\pi}} \sin \theta e^{\pm i\varphi}, \\
Y_{20}(\theta, \varphi) &= \sqrt{\frac{5}{16\pi}} (3 \cos^2 \theta - 1), \\
Y_{2\pm 1}(\theta, \varphi) &= \mp \sqrt{\frac{15}{8\pi}} \sin \theta \cos \theta e^{\pm i\varphi}, \\
Y_{2\pm 2}(\theta, \varphi) &= \sqrt{\frac{15}{32\pi}} \sin^2 \theta e^{\pm 2i\varphi}.
\end{aligned} \tag{П.17}$$

Сферические функции образуют полную ортонормированную систему, один из примеров разложения по ней дает мультипольный ряд (2.40).

Условие ортогональности и нормировки функций Y_{lm} имеет вид

$$\int_0^{2\pi} d\varphi \int_0^\pi d\theta \sin \theta Y_{lm}^*(\theta, \varphi) Y_{l'm'}(\theta, \varphi) = \delta_{ll'} \delta_{mm'}. \tag{П.18}$$

При действии оператора Лапласа на функцию $Y_{lm}(\theta, \varphi)$ последняя воспроизводится

$$\Delta Y_{lm}(\theta, \varphi) = -\frac{l(l+1)}{r^2} Y_{lm}(\theta, \varphi), \tag{П.19}$$

т.е. $Y_{lm}(\theta, \varphi)$ является собственной функцией оператора $\Delta_{\theta\varphi}$ [см. (1.38), (П.4)] с собственным значением $-l(l+1)$.

При $m = 0$ сферическая функция выражается через полином Лежандра

$$Y_{l0}(\theta, \varphi) = \frac{2l+1}{4\pi} P_l(\cos \theta) \tag{П.20}$$

и не зависит от азимутального угла φ . К функциям Y_{l0} приводят, например, интегралы

$$\int_0^{2\pi} Y_{lm}(\theta, \varphi) d\varphi = 2\pi \delta_{0m} Y_{l0}, \tag{П.21}$$

$$\int_0^{2\pi} Y_{lm}^*(\theta, \varphi) Y_{l'm'}(\theta, \varphi) d\varphi = 2\pi \delta_{mm'} Y_{l0}^* Y_{l'0}. \tag{П.22}$$

3. Полиномы Лежандра

Полиномы Лежандра $P_n(x)$ являются решениями дифференциального уравнения

$$\frac{d}{dx} \left[(1-x^2) \frac{dP_n}{dx} \right] + n(n+1)P_n = 0, \quad (\text{П.23})$$

где $-1 \leq x \leq 1$ и $n = 0, 1, 2, \dots$

Первые четыре полинома Лежандра даются выражениями

$$\begin{aligned} P_0(x) &= 1, \quad P_1(x) = x, \quad P_2(x) = \frac{1}{2}(3x^2 - 1), \\ P_3(x) &= \frac{1}{2}(5x^3 - 3x), \quad P_4(x) = \frac{1}{8}(35x^4 - 30x^2 + 3). \end{aligned} \quad (\text{П.24})$$

Полином Лежандра n -й степени может быть вычислен по формуле

$$P_n(x) = \frac{1}{2^n n!} \frac{d^n}{dx^n} [(x^2 - 1)^n]. \quad (\text{П.25})$$

Свойства полиномов Лежандра

$$P_n(-x) = (-1)^n P_n(x), \quad (\text{П.26})$$

$$P_n(1) = 1, \quad (\text{П.27})$$

$$\int_{-1}^1 P_n(x) P_m(x) dx = \frac{2}{2n+1} \delta_{mn}. \quad (\text{П.28})$$

Литература

1. Алексеев А. И. Сборник задач по классической электродинамике / А. И. Алексеев. — М. : Наука, 1977. — 319 с.
2. Батыгин В. В. Сборник задач по электродинамике / В. В. Батыгин, И. Н. Топтыгин. — М. : Наука, 2002. — 639 с.
3. Батыгин В. В. Современная электродинамика : в 2 ч. / В. В. Батыгин, И. Н. Топтыгин. — М. ; Ижевск : Ин-т компьютер. исслед., 2003. — ч. 1 : Микроскопическая теория. — 736 с.
4. Запрягаев С. А. Электродинамика / С. А. Запрягаев. — Воронеж : Изд-во Воронеж. гос. ун-та, 2005. — 536 с.
5. Тамм И. Е. Основы теории электричества / И. Е. Тамм.— М. : Наука, 1976. — 620 с.

Учебное издание

Мармо Сергей Иванович,
Фролов Михаил Владимирович

ЗАДАЧИ ПО ЭЛЕКТРОДИНАМИКЕ

Часть I

Учебное пособие для вузов

Корректор В. П. Бахметьев

Подписано в печать 24.06.2014. Формат 60×84/16. Усл. печ. л. 3,7.
Тираж 25 экз. Заказ 548.

Издательский дом ВГУ.
394000, г. Воронеж, пл. Ленина, 10.
Отпечатано в типографии Издательского дома ВГУ.
394000, г. Воронеж, ул. Пушкинская, 32.